

■ Introducción

- La **respuesta en frecuencia** $H(w)$ de un filtro IIR es una *función racional*, es decir, la razón entre dos polinomios de grado finito en e^{jw} de la forma,

$$H(w) = \frac{B(w)}{A(w)} = e^{-jwN_0} \frac{\sum_{k=0}^M b_k e^{-jwk}}{\sum_{k=0}^N a_k e^{-jwk}}$$

- donde:

N_0 unidades de desplazamiento de $h(n)$

a_k y b_k coeficientes del filtro

N es el orden del filtro y generalmente $N \geq M$.

$h(n) \neq 0$ para $N_0 \leq n \leq \infty$.

■ Introducción...

- La **función de transferencia** $H(z)$ de un filtro IIR es racional y está dada por:

$$H(z) = H(e^{j\omega}) \Big|_{z=e^{j\omega}} = z^{-N_0} \frac{\sum_{k=0}^M b_k z^{-k}}{\sum_{k=0}^N a_k z^{-k}}$$

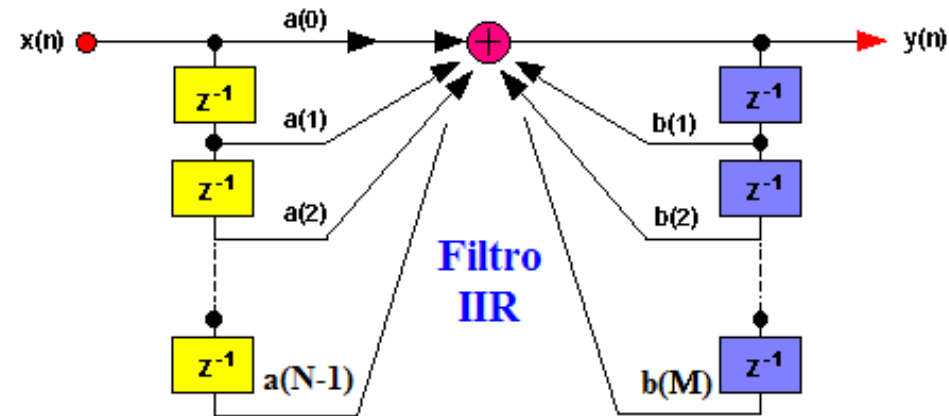
- Se aprecia que los filtros IIR, a diferencia de los FIR, pueden ser inestables por la existencia de polos.

■ Introducción...

- El diseño de un filtro IIR busca determinar la función $h(n)$, $H(z)$, $H(w)$ o la ecuación de diferencia que mejor se aproxime a las especificaciones de diseño.
- Se logra calculando los coeficientes $\{a_k\}$ y $\{b_k\}$ óptimos según un criterio establecido.
- El orden del filtro N generalmente se fija desde un principio, pero también puede considerarse como un parámetro.

■ Características de Filtros IIR

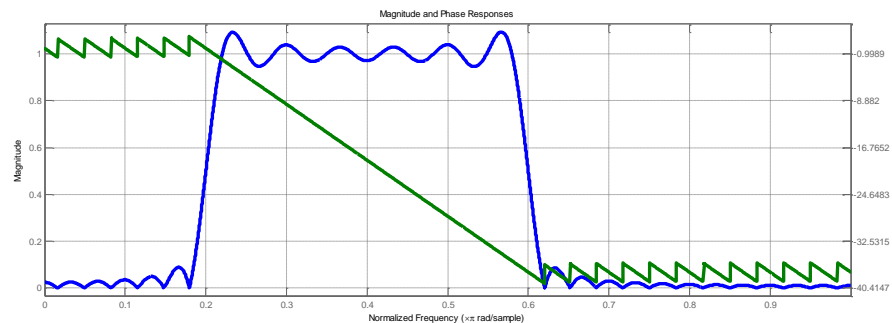
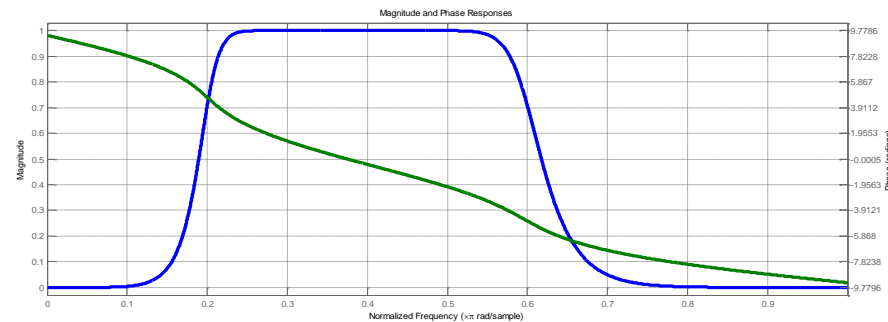
- No puede utilizarse la convolución para implementar filtros IIR
 - Se recurre a las ecuaciones de diferencia.
- Los filtros IIR emplean realimentación
 - Necesitan almacenar muestras de la salida para calcular un nuevo valor.



$$y(n) = \sum_{k=0}^{N-1} a(k)x(n-k) + \sum_{k=1}^M b(k)y(n-k)$$

■ Características de Filtros IIR ...

- No es posible diseñar filtros IIR causales de **fase lineal**.
 - Para aproximar una fase lineal se puede utilizar la técnica de filtrado *forward-backward*, para compensar la fase.



■ Características de Filtros IIR ...

- El **ruido de la cuantización** en los coeficientes puede afectar severamente la respuesta y estabilidad del filtro.
 - Puede distorsionar la posición de los polos y desplazarlos cerca o sobre el círculo unitario del plano z .

■ Características de Filtros IIR...

- Comparados con los filtros FIR, los filtros IIR pueden alcanzar las especificaciones de diseño con ordenes relativamente bajos (4 a 6 polos).
- Los filtros IIR se obtienen comúnmente a partir de fórmulas de diseño en forma cerrada correspondientes a filtros clásicos.

■ Características de Filtros IIR...

- Las características de ruido de un filtro IIR deben tenerse muy presentes durante la implementación, especialmente en aritmética de punto fijo.
 - La cuantización de los coeficientes degrada la respuesta del filtro (se aleja de la calculada con software de alta precisión).
 - La sensibilidad al ruido de redondeo puede ser amplificada por las mallas de realimentación en el filtro.

■ Introducción

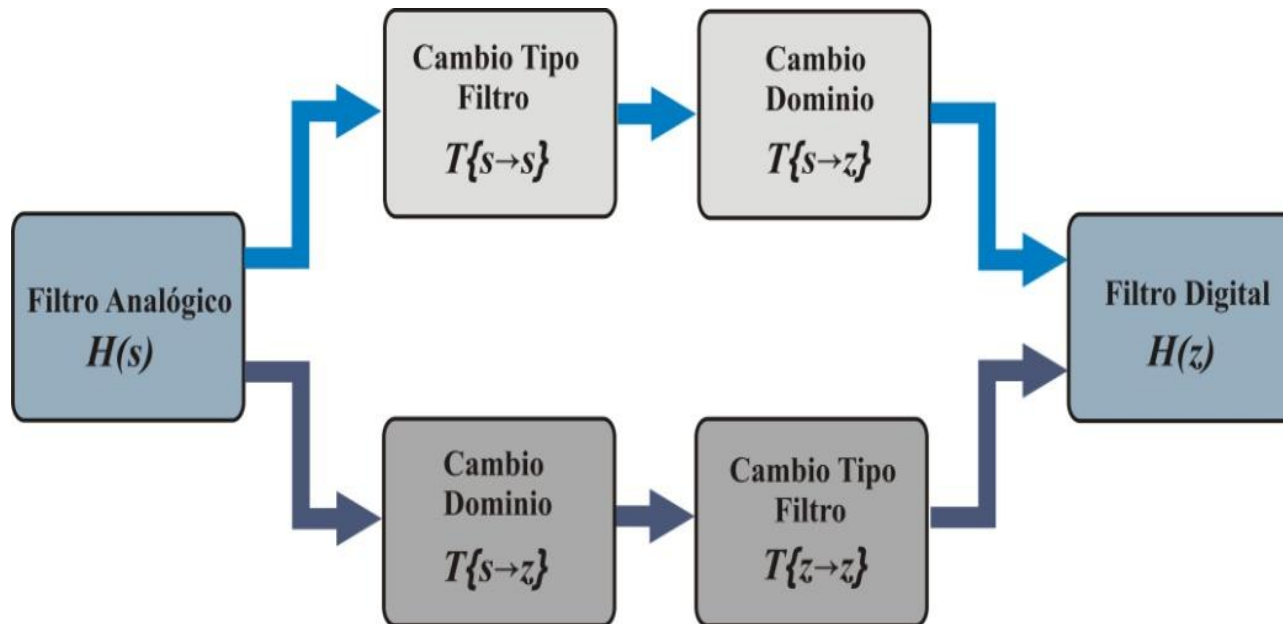
- Técnica basada en convertir un filtro analógico $H(s)$ en un filtro digital $H(z)$.
 - Ventajas:
 - Amplia literatura sobre diseño filtros analógicos con fórmulas cerradas.
 - Disponibilidad de tablas de transformaciones entre dominios analógicos y digital y tipos de filtros.

$$T\{s \rightarrow z\}, \quad T\{s \rightarrow s\}, \quad T\{z \rightarrow z\}$$

Diseño de Filtros IIR a partir de Filtros Analógicos

■ Introducción ...

■ Modalidades de diseño



■ Introducción ...

- Técnica adecuada para obtener respuesta en frecuencia de amplitud casi constante en las bandas de paso y de rechazo.
- Técnica no-adecuada para respuestas en frecuencia de formas arbitrarias.
 - Las técnicas de optimización numérica si son adecuadas.
- Diseño con especificaciones de magnitud y fase arbitrarias es muy difícil.
 - No produce soluciones que cumplan todos los requerimientos de diseño.

■ Introducción ...

- Cada una de las representaciones de un filtro analógico conduce a métodos para convertirlo al dominio digital.
 - Respuesta Impulsional $h(t)$
 - Ecuación diferencial $y(t)$
 - Función de Transferencia $H(s)$
 - Respuesta en Frecuencia $H(\omega)$

■ Representación de filtros analógicos

- **Mediante** la función de transferencia $H_a(s)$

$$H_a(s) = \frac{\sum_{k=0}^M \beta_k s^k}{\sum_{k=0}^N \alpha_k s^k}$$

donde $\{\alpha\}$ y $\{\beta\}$ son los coeficientes del filtro.

■ Representación de filtros analógicos...

- Mediante $H_a(s)$ a través de la **Respuesta Impulsional** $h(t)$

$$H_a(s) = \int_{-\infty}^{\infty} h(t) e^{-st} dt$$

- Mediante una Ecuación Diferencial Lineal con Coeficientes Constantes,

$$\sum_{k=0}^N \alpha_k \frac{\partial^k y(t)}{\partial t^k} = \sum_{k=0}^M \beta_k \frac{\partial^k x(t)}{\partial t^k}$$

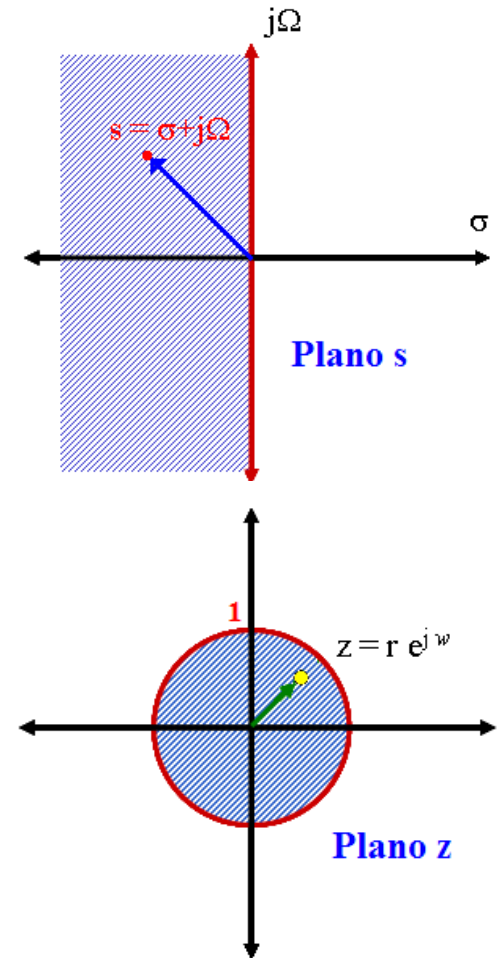
donde $x(t)$ y $y(t)$ indican señal de entrada y de salida del filtro.

Diseño de Filtros IIR a partir de Filtros Analógicos

■ Procedimiento de Conversión Análogo-Digital

■ Conceptos Claves

- Un sistema analógico $H(s)$ LTI es estable si todos sus polos yacen en la mitad izquierda del plano s .
- Un sistema discreto $H(z)$ LTI es estable si todos sus polos yacen dentro del círculo unitario del plano z .

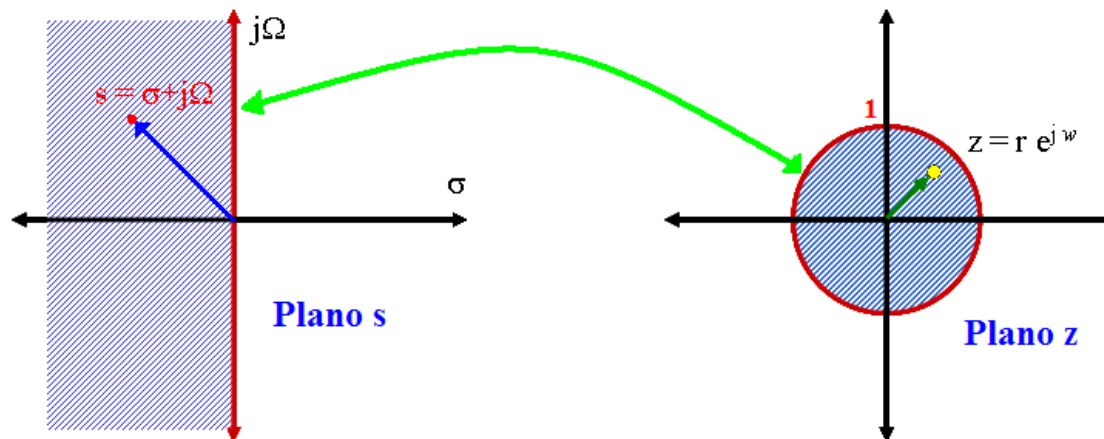


Diseño de Filtros IIR a partir de Filtros Analógicos

■ Procedimiento de Conversión...

■ La técnica de conversión es efectiva si:

- El eje $j\Omega$ en el plano s se corresponde con la circunferencia unidad en el plano z .



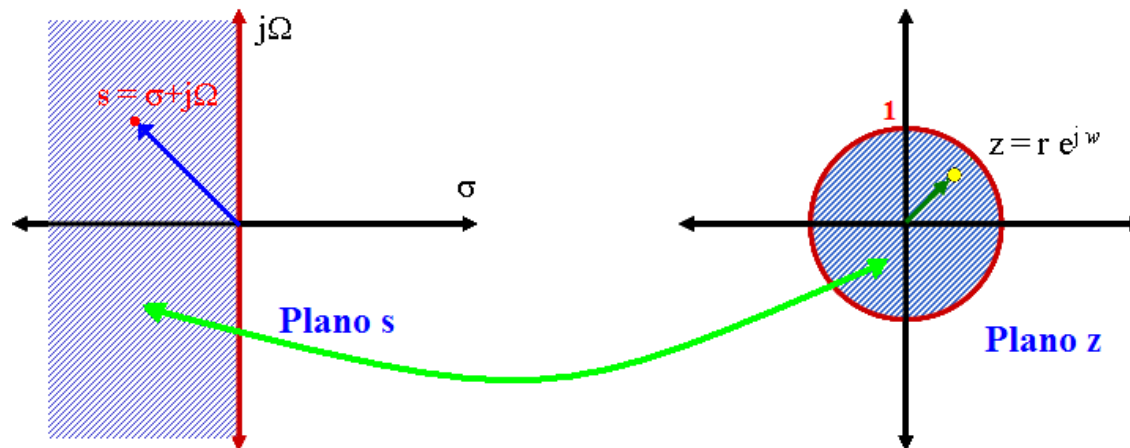
- Garantiza relación directa entre variables de frecuencia !!: $\Omega \Leftrightarrow \omega$.

Diseño de Filtros IIR a partir de Filtros Analógicos

■ Procedimiento de Conversión...

■ La técnica de conversión es efectiva si:

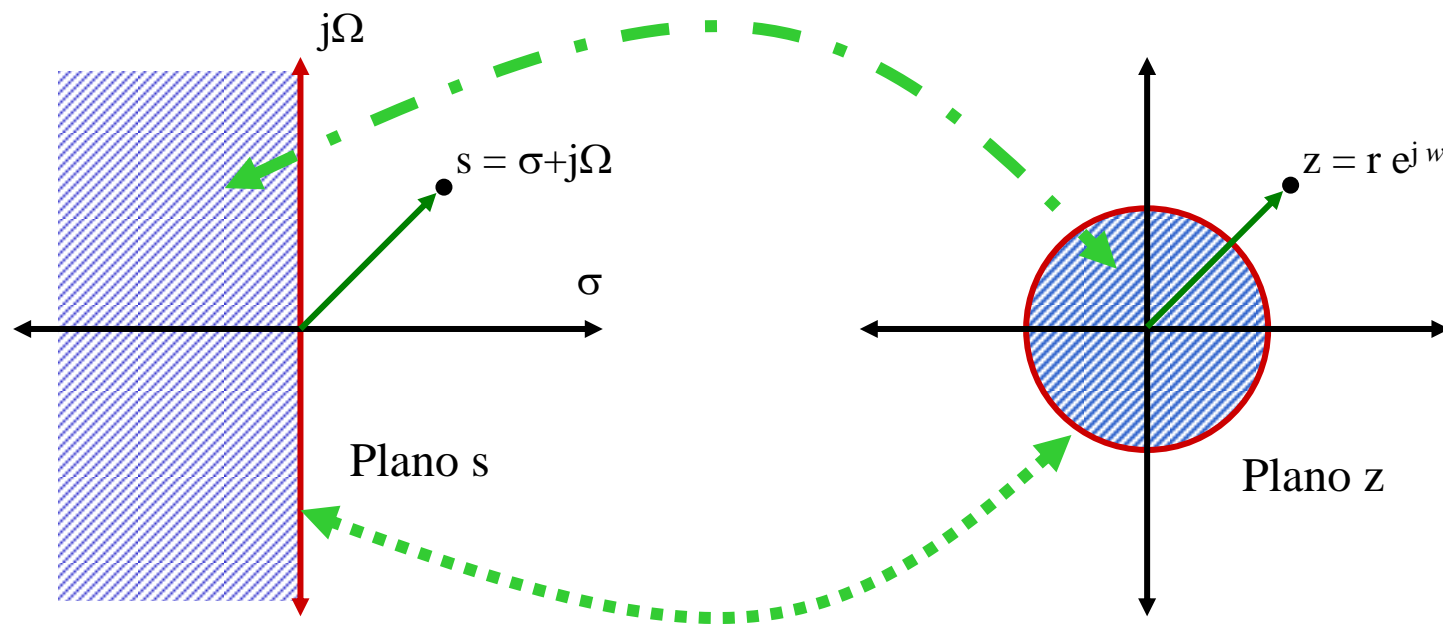
- El semiplano izquierdo del plano s se corresponde con el interior de la circunferencia en el plano z .



- Garantiza la estabilidad del filtro digital obtenido!!

Diseño de Filtros IIR a partir de Filtros Analógicos

- La técnica de conversión es efectiva si:



■ Procedimiento de Conversión...

- Los filtros IIR estables y físicamente realizables, no pueden tener fase lineal, puesto que la condición de fase lineal establece que:

$$H(z) = \pm z^{-N} H(z^{-1})$$

lo que implica que por cada polo dentro de la circunferencia haya un polo especular por fuera.

- Prescindiendo de la restricción de realizabilidad física, computacionalmente es posible, en principio, obtener un filtro IIR de fase lineal.
 - Este método presenta un costo de cómputo alto.
 - No proporciona ventajas sobre los filtros FIR de fase lineal.

Filtros IIR : A partir de Filtros Analógicos

■ Observaciones

- En el caso de un filtro IIR se obtiene una respuesta en frecuencia que depende de ω y no se trata de una respuesta en frecuencia que sea independiente de ω .
- $H(\omega)$ puede ser una función compleja (dependiente de ω), lo que implica que la amplitud y la fase de la señal de salida dependen de la frecuencia de la señal de entrada.
- Dado que la respuesta en frecuencia de un filtro IIR depende de ω , se debe tener en cuenta que la respuesta en frecuencia de un filtro IIR no es la misma para todas las frecuencias.



icas del
de $\phi(\omega)$

y no se

aria) se
eta.



PSI Percepción y Sistemas Inteligentes



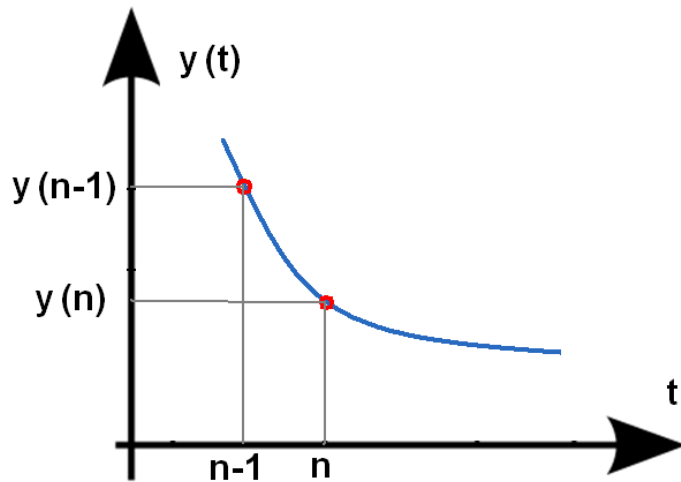
Universidad del Valle

Facultad de Ingeniería
Escuela de Ingeniería Eléctrica y Electrónica

humberto.loaiza@correounivalle.edu.co

■ Procedimiento

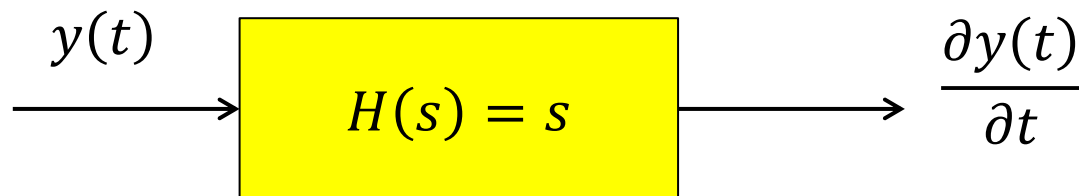
- Busca aproximar la ecuación diferencial por una ecuación en diferencias equivalente.
- La derivada en el tiempo $t = nT$, se sustituye por la *diferencia hacia atrás*:



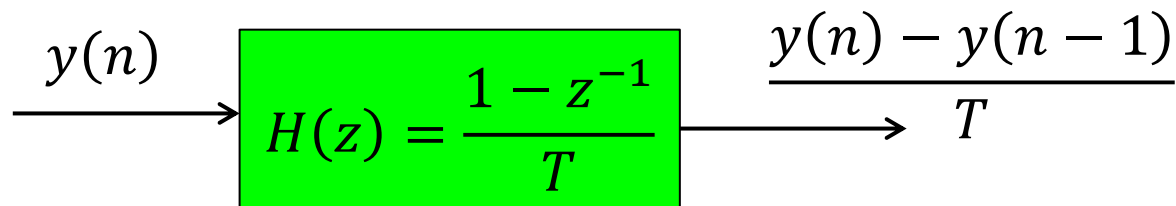
$$\left. \frac{\partial y(t)}{\partial t} \right|_{t=nT} = \frac{y(nT) - y(nT - T)}{T} = \frac{y(n) - y(n-1)}{T}$$

■ Procedimiento...

- La parte analógica es un derivador:



- La parte discreta es un diferenciador:



- Por lo tanto, la transformación queda determinada por:

$$s = \frac{1 - z^{-1}}{T}$$

■ Procedimiento...

- Se deduce que para la k-ésima derivada de $y(t)$ resulta la relación:

$$s^k = \left(\frac{1 - z^{-1}}{T} \right)^k$$

- Para el filtro analógico con función de transferencia $H_a(s)$ caracterizado por la ecuación diferencial,

$$\sum_{k=0}^N \alpha_k \frac{\partial^k y(t)}{\partial t^k} = \sum_{k=0}^M \beta_k \frac{\partial^k x(t)}{\partial t^k}$$

La función $H(z)$ del filtro IIR digital se obtiene al aplicar,

$$H(z) = H_a(s) \Big|_{s=(1-z^{-1})/T}$$

■ Correspondencia plano $s \leftrightarrow$ plano z

- La relación entre s y z obtenida anteriormente puede reescribirse como,

$$z = \frac{1}{1 - sT}$$

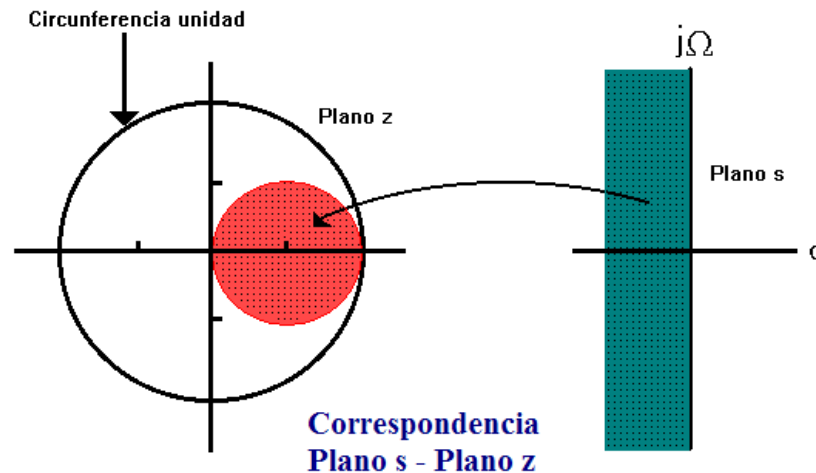
con $s = j\Omega$ se obtiene:

$$z = \frac{1}{1 + \Omega^2 T^2} + j \frac{\Omega T}{1 + \Omega^2 T^2}$$

Filtros IIR: Aproximación de Derivadas

■ Correspondencia plano $s \leftrightarrow$ plano z

- Cuando Ω varía desde $-\infty$ hasta $+\infty$,
 - z varía dentro de un círculo de radio $\frac{1}{2}$ con centro en $\frac{1}{2}$.



- Correspondencia estable y restringida a filtros paso-bajo y paso-banda con frecuencias resonantes relativamente pequeñas.
 - No es posible convertir un paso-alto analógico en uno paso-alto digital.

■ Ejemplo

- Convierta el filtro paso-banda analógico con función de transferencia,

$$H_a(s) = \frac{1}{(s + 0.1)^2 + 9}$$

a un filtro IIR digital usando la técnica de Aproximación de Derivadas.

■ Solución

- Utilizando la sustitución $s^k = \left(\frac{1-z^{-1}}{T}\right)^k$ en $H(s)$ se obtiene,

$$H(z) = \frac{1}{\left(\frac{1-z^{-1}}{T} + 0.1\right)^2 + 9} = \frac{T^2 / (1 + 0.2T + 9.01T^2)}{1 - \frac{2(1 + 0.1T)}{1 + 0.2T + 9.01T^2} z^{-1} + \frac{1}{1 + 0.2T + 9.01T^2} z^{-2}}$$

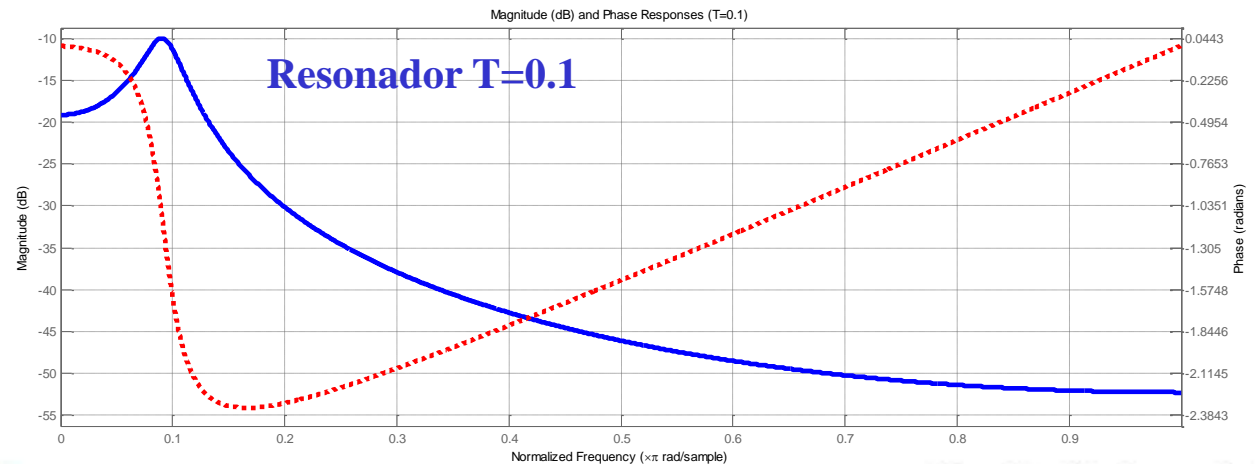
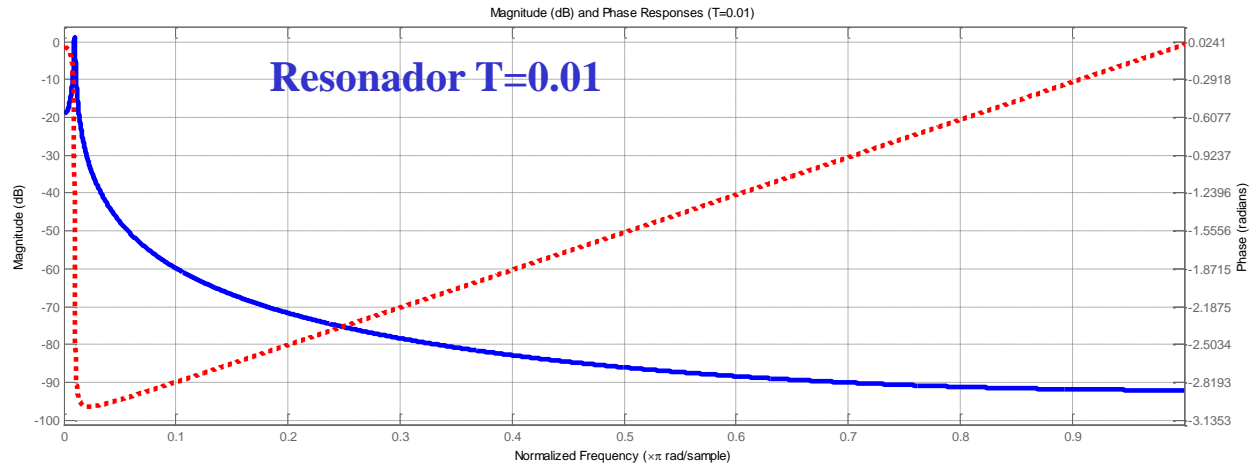
- $H(z)$ tiene forma de un *resonador* si T se selecciona suficientemente pequeño ($T \leq 0.1$) \rightarrow polos estén cerca de la circunferencia unidad.
 - Si $T = 0.1$, los polos son: $z_{p_{1,2}} = 0.91 \pm j0.27 = 0.95e^{\pm j16.54^\circ}$
 - Si $T = 0.01$, los polos son: $z_{p_{1,2}} = 0.99 \pm j0.03 = 0.99e^{\pm j1.72^\circ}$

Filtros IIR: Aproximación de Derivadas



■ Solución ...

```
T= 0.01; T2=(T^2);  
D=(1+0.2*T+9.01*T2);  
%Polinomio Numerador  
b0= T2/D ; b1=0; b2=0;  
b= [b0 b1 b2];  
%Polinomio Denominador  
a0=1; a1=-2*(1+0.1*T)/D; a2=1/D;  
a=[a0 a1 a2];  
%Polos  
AngPolos=angle(roots(a))*180/pi  
MagPolos=abs(roots(a))  
%Graficación  
fvtool(b,a)
```



Diseño de Filtros IIR mediante Invarianza Impulsional

■ Introducción

- Consiste en diseñar un filtro IIR digital con un $h(n)$ que sea la versión muestreada de $h_a(t)$ del filtro analógico.



- Es decir, $h(n) = h_a(t = nT)$ donde T es el periodo de muestreo.

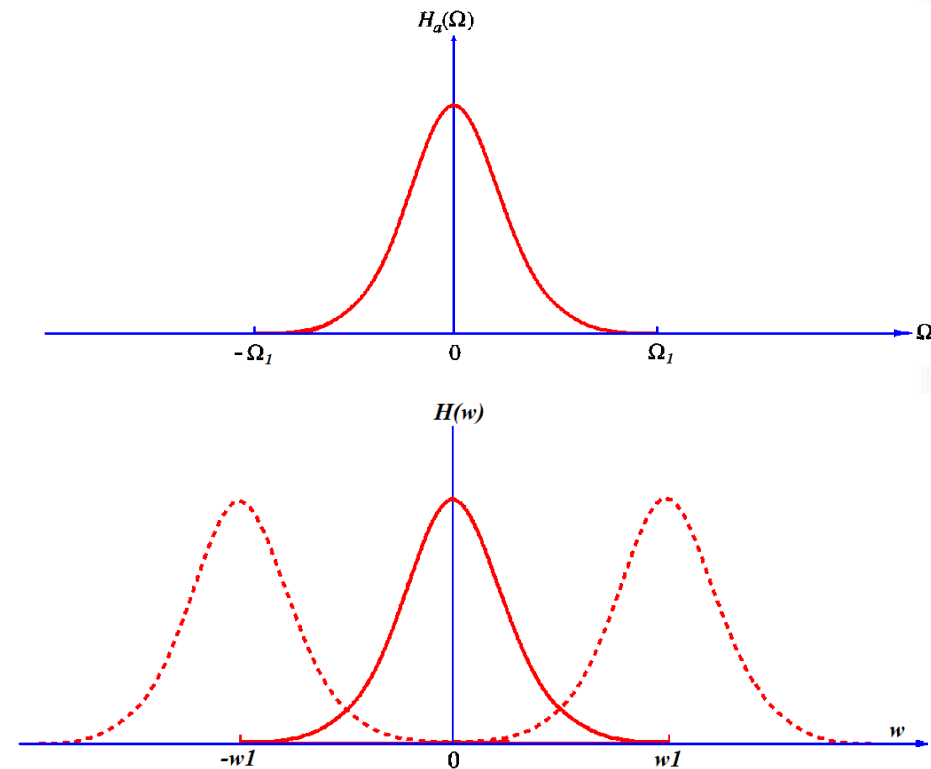
■ Introducción

- Cuando una señal análoga $h_a(t)$ con espectro $H_a(F)$ se muestrea a $F_s = 1/T$:

El espectro de la señal muestreada $h(n) = h_a(nT)$ es la repetición del espectro escalado $F_s H_a(F)$ y con periodo F_s :

$$H(w) = F_s \sum_{k=-\infty}^{\infty} H_a[(w - 2\pi k)F_s] \quad \text{ó}$$

$$H(\Omega T) = \frac{1}{T} \sum_{k=-\infty}^{\infty} H_a\left(\Omega - \frac{2\pi k}{T}\right) \quad \text{con } \Omega = \frac{w}{T}$$



■ Introducción...

- $H(w)$ tendrá las características de respuesta en frecuencia del correspondiente filtro analógico si T es suficientemente pequeño para evitar al máximo el **aliasing**.
 - El **aliasing** ocurre si F_s es menor que dos veces la frecuencia más alta contenida en $X_a(F)$.
- Método inapropiado para el diseño de filtros paso-alto, por el traslape de las bandas en alta frecuencia.

■ Correspondencia plano s y plano z

- La correspondencia entre los planos s y z que *genera el proceso de muestreado* se obtiene a partir de la generalización de la relación entre la transformada z de $h(n)$ y la transformada de Laplace de $h_a(t)$, dada por:

$$H(z)\big|_{z=e^{sT}} = \frac{1}{T} \sum_{k=-\infty}^{\infty} H_a\left(s - j\frac{2\pi k}{T}\right) \quad \text{donde:}$$

$$H(z) = \sum_{n=0}^{\infty} h(n)z^{-n} \quad \text{y} \quad H(z)\big|_{z=e^{sT}} = \sum_{n=0}^{\infty} h(n)e^{-sTn}$$

- Es decir, $z = e^{sT}$



■ Correspondencia plano $s \leftrightarrow$ plano z

8

- Al sustituir $s = \sigma + j\Omega$ y $z = re^{jw}$ en $z = e^{sT}$ llega a:

$$re^{jw} = e^{\sigma T} e^{j\Omega T} \quad \text{donde} \quad r = e^{\sigma T} \quad \text{y} \quad w = \Omega T$$

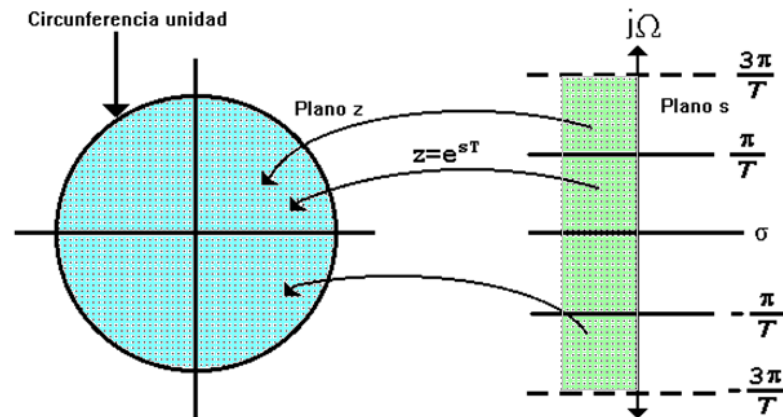
- Para $\sigma < 0$ se tiene $0 < r < 1$
 - Semiplano izquierdo de $s \Rightarrow$ interior de la circunferencia unidad en el plano z .
- Para $\sigma > 0$ se tiene $r > 1$.
 - Semiplano derecho de $s \Rightarrow$ exterior de la circunferencia unidad en el plano z .
- Cuando $\sigma = 0$ se tiene $r = 1$.
 - Eje $j\Omega \Rightarrow$ circunferencia unidad en el plano z .



Diseño de Filtros IIR mediante Invarianza Impulsional

■ Correspondencia plano $s \leftrightarrow$ plano z ...

- La correspondencia del eje $j\Omega$ con el círculo unitario **no es uno a uno**.



- Al intervalo $-\pi \leq w \leq \pi$ le corresponde $(2k-1) \pi / T \leq \Omega \leq (2k+1) \pi / T$ cuando k es un entero..
- La correspondencia entre frecuencias Ω y w **no es inyectiva**, lo que refleja el efecto de aliasing debido al muestreo.

■ Método de Diseño

- De la expresión $z = e^{sT}$ se obtiene $s = (\ln z)/T$ la cual no es muy conveniente para obtener la función $H(z)$.
- Considerando el caso en que todos los polos son distintos, por expansión en fracciones parciales:

$$H_a(s) = \sum_{k=1}^N \frac{c_k}{s - p_k}$$

- Al aplicar la transformada inversa de Laplace, se llega a:

$$h_a(t) = \sum_{k=1}^N c_k e^{p_k t}, \quad t \geq 0$$

■ Método de Diseño

- Al muestrear $h_a(t)$ periódicamente en $t = nT$, se llega a:

$$h(n) = h_a(nT) = \sum_{k=1}^N c_k e^{p_k T n}, \quad n = 0, 1, 2, \dots$$

- Aplicando Transformada z,

$$H(z) = \sum_{n=0}^{\infty} h(n) z^{-n} = \sum_{k=1}^N c_k \sum_{n=0}^{\infty} \left(e^{p_k T} z^{-1} \right)^n$$

- Si $p_k < 0$, la sumatoria interna converge a,

$$\sum_{n=0}^{\infty} \left(e^{p_k T} z^{-1} \right)^n = \frac{1}{1 - e^{p_k T} z^{-1}}$$

■ Método de diseño...

- Por lo tanto, el filtro digital es:

$$H(z) = \sum_{k=1}^N \frac{c_k}{1 - e^{p_k T} z^{-1}}$$

■ Observaciones:

- Los polos del filtro digital se localizan en $z_k = e^{p_k T}$, $k = 1, 2, \dots, N$ y se corresponden con los polos del plano s .
- Los ceros del filtro no satisfacen esta relación.
- El método no se define mediante la simple correspondencia de puntos dado por $z = e^{sT}$.

■ Ejemplo

- Convierta el filtro analógico dado, en un filtro IIR digital por el método de Invarianza Impulsional.

$$H_a(s) = \frac{s + 0.1}{(s + 0.1)^2 + 9}$$

■ Solución

- El filtro $H_a(s)$ tiene un cero en $s = -0.1$ y polos conjugados en $p_k = -0.1 \pm j3$.

■ Solución...

- $H(z)$ se determina directamente a partir de la expansión en fracciones parciales de $H_a(s)$:

$$H_a(s) = \frac{1/2}{s + 0.1 - j3} + \frac{1/2}{s + 0.1 + j3}$$

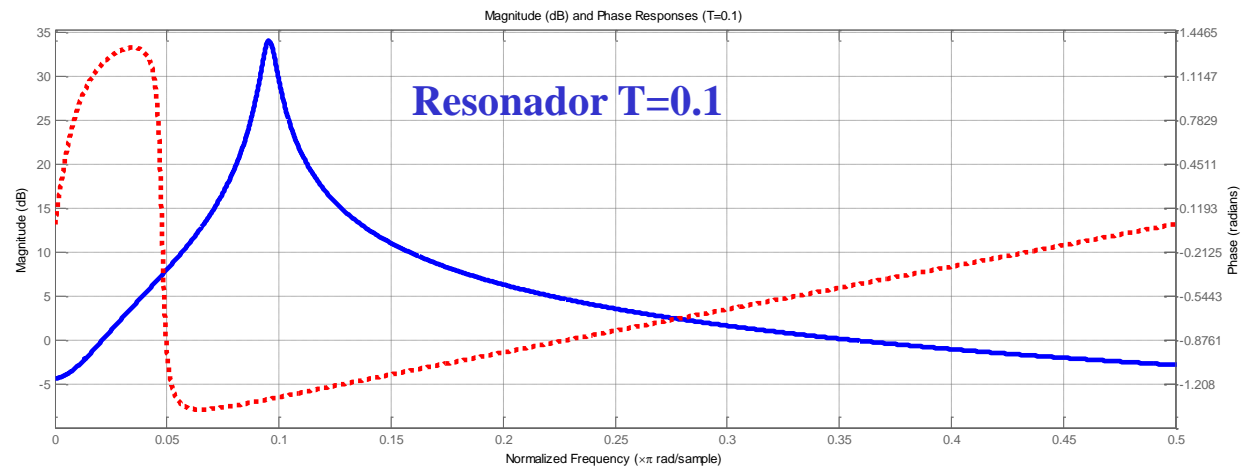
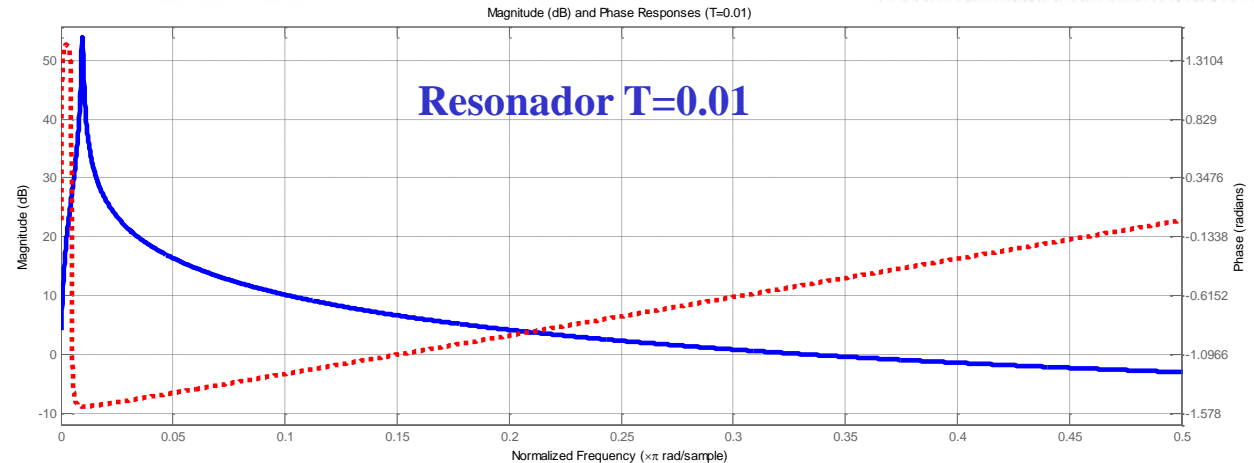
- Sustituyendo polos:

$$H(z) = \frac{1/2}{1 - e^{-0.1T} e^{j3T} z^{-1}} + \frac{1/2}{1 - e^{-0.1T} e^{-j3T} z^{-1}} = \frac{1 - (e^{-0.1T} \cos 3T) z^{-1}}{1 - (2e^{-0.1T} \cos 3T) z^{-1} + e^{-0.2T} z^{-1}}$$

Diseño de Filtros IIR mediante Invarianza Impulsional

■ Solución...

```
T= 0.01; D= exp(-0.1*T)* cos(3*T);  
%Polinomio Numerador  
b0= 1 ; b1=-D; b2=0;  
b= [b0 b1 b2];  
%Polinomio Denominador  
a0=1; a1=-2*D; a2=exp(-0.2*T);  
a=[a0 a1 a2];  
%Polos  
polos=roots(a)  
AngPolos=angle(polos)*180/pi  
MagPolos=abs(polos)  
%freqz(b,a)  
fvtool(b,a)
```



■ Solución...

- $H(z)$ tiene forma de un *resonador* si T se selecciona suficientemente pequeño ($T \leq 0.1$) \rightarrow polos estén cerca de la circunferencia unidad.
 - Si $T = 0.1$, los polos son: $z_{p_{1,2}} = 0.95 \pm j0.29 = 0.99e^{\pm j17.19^\circ}$
 - Si $T = 0.01$, los polos son: $z_{p_{1,2}} = 0.99 \pm j0.03 = 0.99e^{\pm j1.72^\circ}$

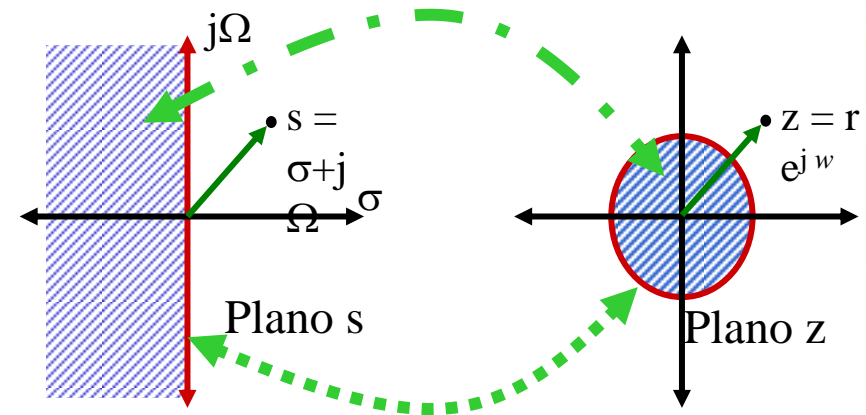
■ Observaciones

- Valores pequeños de T minimizan el efecto de aliasing.
- Debido al aliasing, el método de invarianza impulsional es apropiado para el diseño de filtros paso-bajo y paso-banda.

Diseño de Filtros IIR: Transformación Bilineal

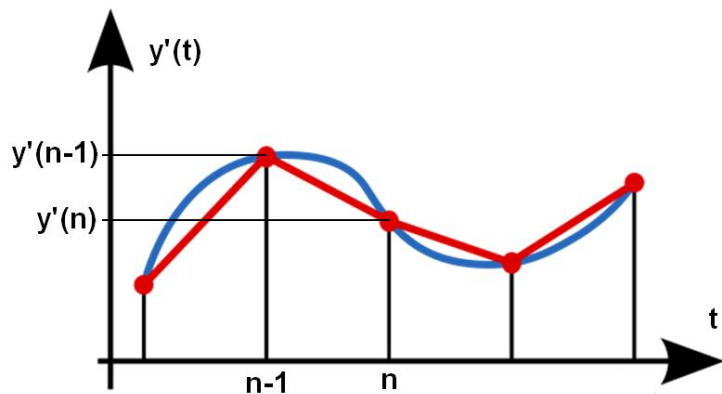
■ Introducción

- Transforma el eje $j\Omega$ en la circunferencia unidad sin solapamientos de frecuencias.
- Semiplano izquierdo \rightarrow interior de la circunferencia unidad.
- Semiplano derecho \rightarrow exterior de la circunferencia unidad.
- La transformación bilineal permite diseñar todo tipo de filtros.



■ Deducción

- La transformación bilineal se puede ligar a la fórmula trapezoidal.
- Al integrar una derivada y aproximarla por la fórmula trapezoidal se obtiene,



$$y(t) = \int_{t_0}^t y'(\tau) d\tau + y(t_0) \Leftrightarrow$$

$$y(nT) = \frac{T}{2} [y'(nT) + y'(nT - T)] + y(nT - T)$$

■ Deducción...

- **Caso de estudio:** filtro lineal analógico,

$$H(s) = \frac{b}{s+a} \Leftrightarrow y'(t) + ay(t) = bx(t)$$

- Sustituyendo la expresión de la derivada en la función del filtro y evaluando en $t = nT \equiv n$, se produce,

$$\left(1 + \frac{aT}{2}\right)y(n) + \left(1 - \frac{aT}{2}\right)y(n-1) = \frac{bT}{2}[x(n) + x(n-1)]$$

cuya transformada z es:

$$\left(1 + \frac{aT}{2}\right)Y(z) + \left(1 - \frac{aT}{2}\right)z^{-1}Y(z) = \frac{bT}{2}[1 + z^{-1}]X(z)$$

■ Deducción...

- De donde la función de transferencia del filtro discreto es,

$$H(z) = \frac{b}{\frac{2}{T} \left(\frac{1 - z^{-1}}{1 + z^{-1}} \right) + a}$$

- Y al compararla con la del filtro analógico,

$$H(s) = \frac{b}{s + a}$$

- Se deduce la correspondencia denominada **transformación bilineal**:

$$s = \frac{2}{T} \left(\frac{1 - z^{-1}}{1 + z^{-1}} \right)$$

■ Correspondencia plano $s \leftrightarrow$ plano z

- Con $z = re^{jw}$ y $s = \sigma + j\Omega$ la transformación bilineal puede escribirse como:

$$s = \frac{2}{T} \left(\frac{z-1}{z+1} \right) = \frac{2}{T} \left(\frac{r^2 - 1}{1 + r^2 + 2r \cos w} + j \frac{2r \sen w}{1 + r^2 + 2r \cos w} \right)$$

- De donde :

$$\sigma = \frac{2}{T} \left(\frac{r^2 - 1}{1 + r^2 + 2r \cos w} \right)$$

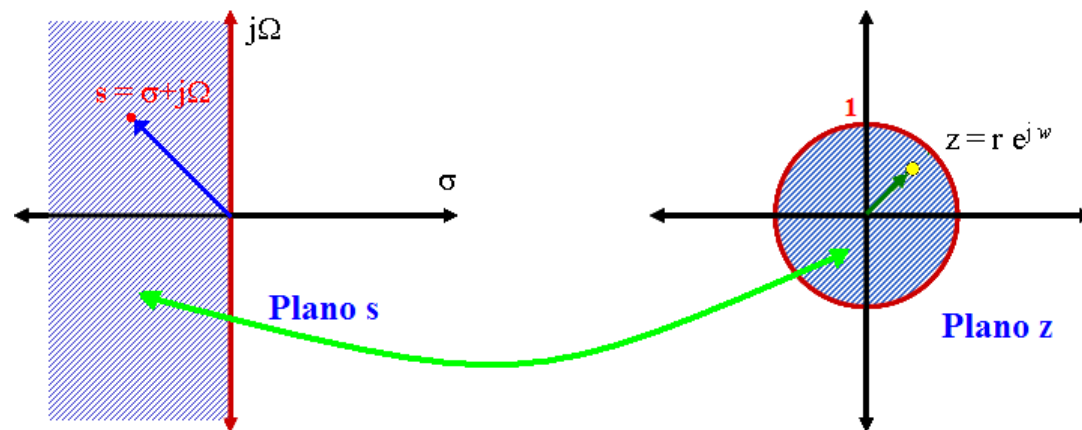
$$\Omega = \frac{2}{T} \left(\frac{2r \sen w}{1 + r^2 + 2r \cos w} \right)$$

Diseño de Filtros IIR: Transformación Bilineal

■ Correspondencia planos $s \leftrightarrow z \dots$

■ $r < 1 \Rightarrow \sigma < 0$

- semiplano izquierdo en s se corresponde con el interior de la circunferencia unitaria en z .

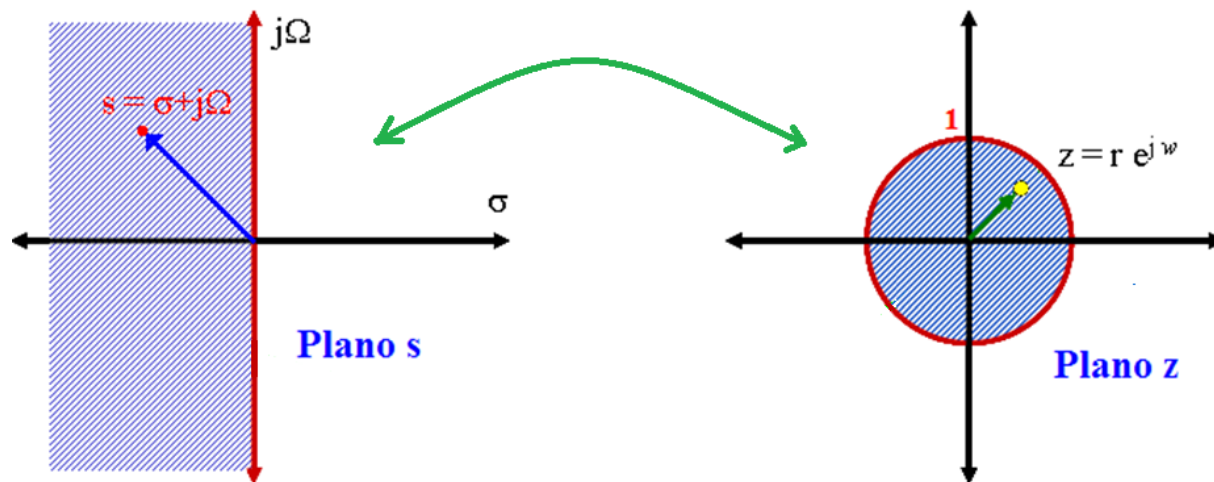


Diseño de Filtros IIR: Transformación Bilineal

■ Correspondencia plano $s \leftrightarrow$ plano z ...

■ $r > 1 \Rightarrow \sigma > 0$

- semiplano derecho en s se corresponde con el exterior de la circunferencia unitaria en z .

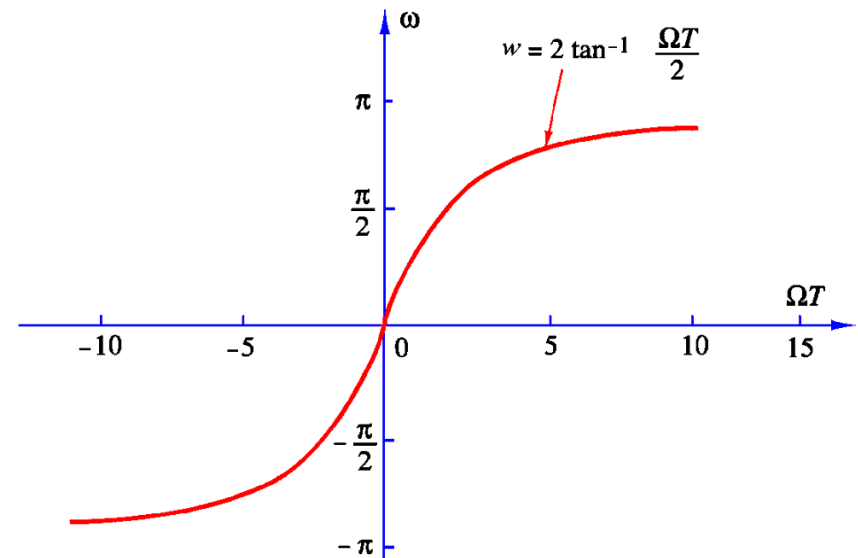


■ Correspondencia plano $s \leftrightarrow z$...

■ $r = 1 \Rightarrow \sigma = 0$: se tiene,

$$\Omega = \frac{2}{T} \tan \frac{w}{2}$$

$$w = 2 \tan^{-1} \frac{\Omega T}{2}$$



Relación entre las variables de frecuencia en los dos dominios.

■ Correspondencia plano $s \leftrightarrow$ plano z ...

- El rango de $-\infty \leq \Omega \leq \infty$ se corresponde unívocamente con el rango $-\pi \leq \omega \leq \pi$
- Correspondencia no lineal \Rightarrow compresión o *deformación de frecuencia*.
- El punto $s = \infty$ corresponde con el punto $z = -1$
 - Un filtro analógico con un cero en $s = \infty$ resulta en un filtro digital con un cero en $z = -1$

■ **Ejemplo 1.** Convertir el filtro analógico dado en un filtro IIR digital por medio de la transformación bilineal.

- El filtro digital debe presentar una frecuencia resonante $\omega_r = \pi / 2$, que coincida con $\Omega_r = 4$.

$$H_a(s) = \frac{s + 0.1}{(s + 0.1)^2 + 16}$$

■ Solución

- De la relación entre frecuencias, se obtiene T.

$$\Omega_r = \frac{2}{T} \tan \frac{\omega_r}{2} \Rightarrow T = \frac{1}{2}$$

■ Solución...

- Reemplazando el valor de T en la transformación bilineal se obtiene la correspondencia deseada,

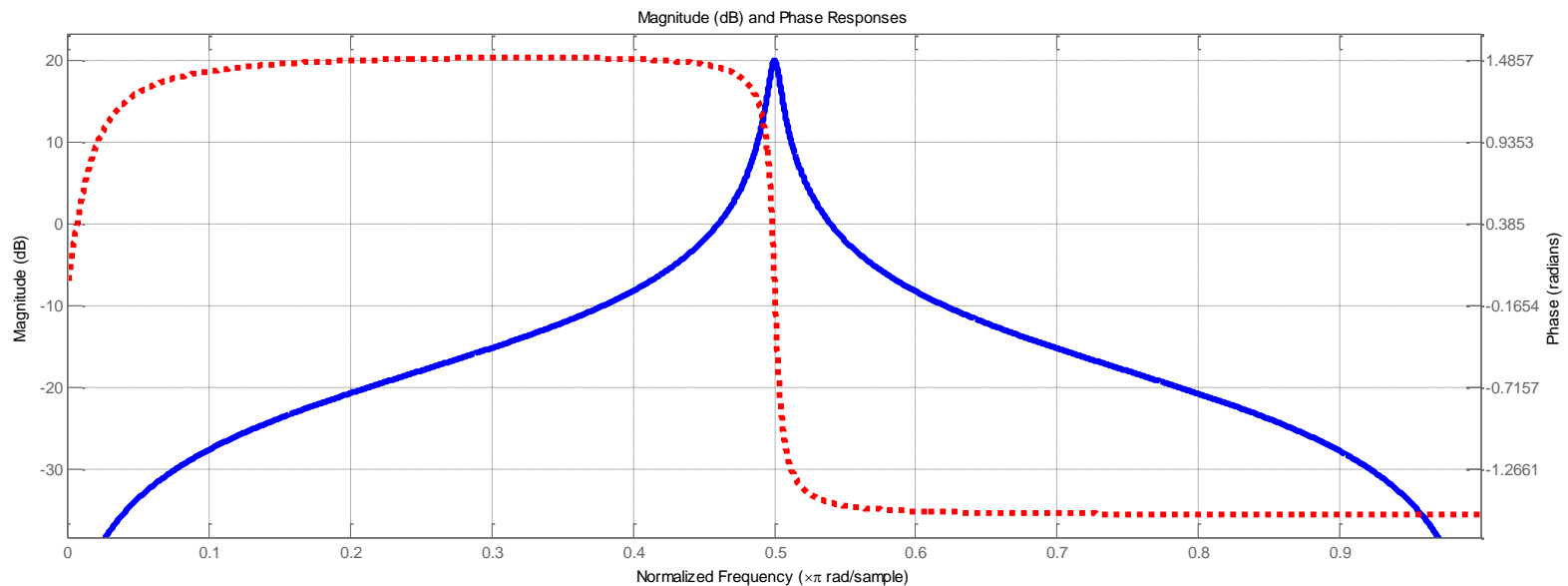
$$s = \frac{2}{T} \left(\frac{1 - z^{-1}}{1 + z^{-1}} \right) \Rightarrow s = 4 \left(\frac{1 - z^{-1}}{1 + z^{-1}} \right)$$

- El filtro digital resultante tiene la función de transferencia,

$$H(z) = \frac{0.128 + 0.006z^{-1} - 0.122z^{-2}}{1 + 0.0006z^{-1} + 0.975z^{-2}}$$

■ Solución...

- Los polos son: $z_{p_{1,2}} = 0.0003 \pm j0.87 = 0.987e^{\pm j90.02^\circ}$



■ Ejemplo 2.

- Usando la transformación bilineal, diseñe un filtro digital paso bajo de un polo simple con ancho de banda de 3 dB en $\omega_c = 0.2 \pi$.

$$H_a(s) = \frac{\Omega_c}{s + \Omega_c}$$

donde Ω_c es el ancho de banda de 3 dB del filtro analógico.

■ Solución

- En el dominio frecuencial, $\omega_c = 0.2 \pi$ se corresponde con,

$$\Omega_c = \frac{2}{T} \tan(0.1\pi) = \frac{0.65}{T}$$

■ Solución...

- Por lo que el filtro tiene la función de transferencia,

$$H(s) = \frac{0.65/T}{s + 0.65/T}$$

- Aplicando la transformación bilineal, se obtiene el filtro digital,

$$H(z) = \frac{0.245(1 + z^{-1})}{1 - 0.509z^{-1}}$$

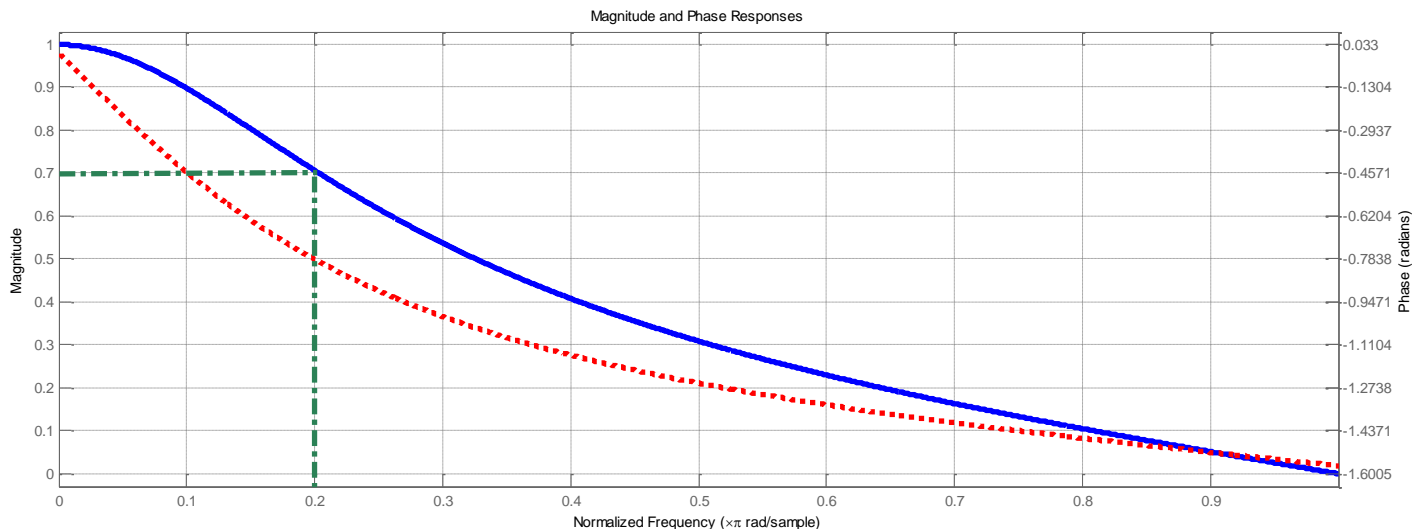
- Verificando, la respuesta en frecuencia:

$$H(w) = \frac{0.245(1 + e^{-jw})}{1 - 0.509e^{-jw}} \Rightarrow H(w = 0) = 1, \quad H(w = 0.2\pi) = 0.707$$

■ Solución...

- Verificando, la respuesta en frecuencia:

$$H(w) = \frac{0.245(1 + e^{-jw})}{1 - 0.509e^{-jw}} \Rightarrow H(w = 0) = 1, \quad H(w = 0.2\pi) = 0.707$$



Diseño de Filtros IIR: Transformación z Adaptada



■ Introducción

- Método que hace corresponder los polos y los ceros de $H_a(s)$ directamente con polos y ceros en el plano z.
- La transformación hace corresponder a cada factor $(s - a)$ el factor $(1 - e^{aT} z^{-1})$, es decir,

$$(s - a) \Leftrightarrow (1 - e^{aT} z^{-1})$$



Diseño de Filtros IIR: Transformación z Adaptada



■ Introducción ...

- Por consiguiente, para un filtro analógico con función de transferencia expresada en factores,

$$H_a(s) = \frac{\prod_{k=1}^M (s - z_k)}{\prod_{k=1}^N (s - p_k)}$$

- la función de transferencia del filtro digital es,

$$H(z) = \frac{\prod_{k=1}^M (1 - e^{a_k T} z^{-1})}{\prod_{k=1}^N (1 - e^{p_k T} z^{-1})} c$$



Diseño de Filtros IIR: Transformación z Adaptada



■ Introducción ...

- la función de transferencia para el filtro digital es,

$$H(z) = \frac{\prod_{k=1}^M (1 - e^{a_k T} z^{-1})}{\prod_{k=1}^N (1 - e^{p_k T} z^{-1})} \quad c$$

■ Observación

- Los polos obtenidos son idénticos a los polos obtenidos con el método de invarianza impulsional; los ceros son diferentes.
- T debe escogerse bastante pequeño para producir polos y ceros en posiciones equivalentes en el plano z (el aliasing debe evitarse).



■ Observaciones Generales

- En las transformaciones de filtros el parámetro T puede asignársele cualquier valor si las especificaciones del filtro analógico se calculan a partir de las especificaciones en el dominio digital.
 - En este caso, T se cancela en la conversión del filtro analógico a digital.
- La fase de los filtros analógicos generalmente se distorsionan cuando se aplican las transformaciones del dominio analógico al dominio discreto.
 - Ej: Los filtros Bessel analógicos tienen fase lineal pero el filtro discreto transformado no conserva esta linealidad en la fase.

■ Introducción

- Algunas de las técnicas vistas para el diseño de filtros IIR implicaban la **conversión** de un filtro **analógico** en **digital** mediante alguna **correspondencia** del plano s al plano z .
- Los métodos de **mínimos cuadrados** permiten **diseñar** los filtros digitales directamente en los dominios **temporal** y **frecuencial**.

■ Aproximación de Padé

- El filtro que se va a diseñar presenta la función de transferencia,

$$H(z) = \frac{\sum_{k=0}^M b_k z^{-k}}{1 + \sum_{k=1}^N a_k z^{-k}} = \sum_{k=0}^{\infty} h(k) z^{-k}$$

donde $h(n)$ es la respuesta impulsional del filtro.

■ Aproximación de Padé...

- **Criterio de error:** Minimizar la suma ε de los errores al cuadrado entre la respuesta impulsional del filtro $h(n)$ y la respuesta deseada $h_d(n)$.

$$\varepsilon = \sum_{n=0}^U [h_d(n) - h(n)]^2$$

- El filtro posee $L = M + N + 1$ parámetros: los coeficientes $\{a_k\}$ y $\{b_k\}$
- Los coeficientes se seleccionan para satisfacer el criterio de optimización del error.

■ Aproximación de Padé...

- En general $h(n)$ es una función *no lineal* de los parámetros del filtro.
- La solución involucra ecuaciones *no lineales* para minimizar ε .
- Si se selecciona el límite superior como $U = L - 1$, es posible ajustar $h(n)$ perfectamente a $h_d(n)$ para $0 \leq n \leq M + N$.
- La ecuación en diferencias para el filtro deseado es,

$$y(n) = -a_1 y(n-1) - a_2 y(n-2) - \dots - a_N y(n-N) \\ + b_0 x(n) + b_1 x(n-1) + \dots + b_M x(n-M)$$

■ Aproximación de Padé...

- Con una entrada $x(n) = \delta(n)$ la respuesta del filtro es $y(n) = h(n)$, por lo que:

$$h(n) = -a_1 h(n-1) - a_2 h(n-2) - \dots - a_N h(n-N) \\ + b_0 \delta(n) + b_1 \delta(n-1) + \dots + b_M \delta(n-M)$$

- como $\delta(n-k) = 0$ excepto para $k = n$ ($0 \leq n \leq M$), la expresión anterior se reduce a:

$$h(n) = -a_1 h(n-1) - a_2 h(n-2) - \dots - a_N h(n-N) + b_n \quad 0 \leq n \leq M \quad [ec.1]$$

- y para $n > M$ se obtiene:

$$h(n) = -a_1 h(n-1) - a_2 h(n-2) - \dots - a_N h(n-N) \quad n > M \quad [ec.2]$$

■ Aproximación de Padé...

■ Procedimiento

Usando el conjunto de ecuaciones lineales [ec.1] y [ec.2] se puede hacer que $h(n) = h_d(n)$ para $0 \leq n \leq M+N$.

- **Paso 1:** Encontrar $\{a_k\}$ haciendo $h(n) = h_d(n)$ en [ec. 2] ($M < n \leq M+N$)
- **Paso 2:** Con los $\{a_k\}$ encontrados, determinar $\{b_k\}$ a partir de [ec. 1] ($0 \leq n \leq M$)

■ Aproximación de Padé...

■ Observaciones

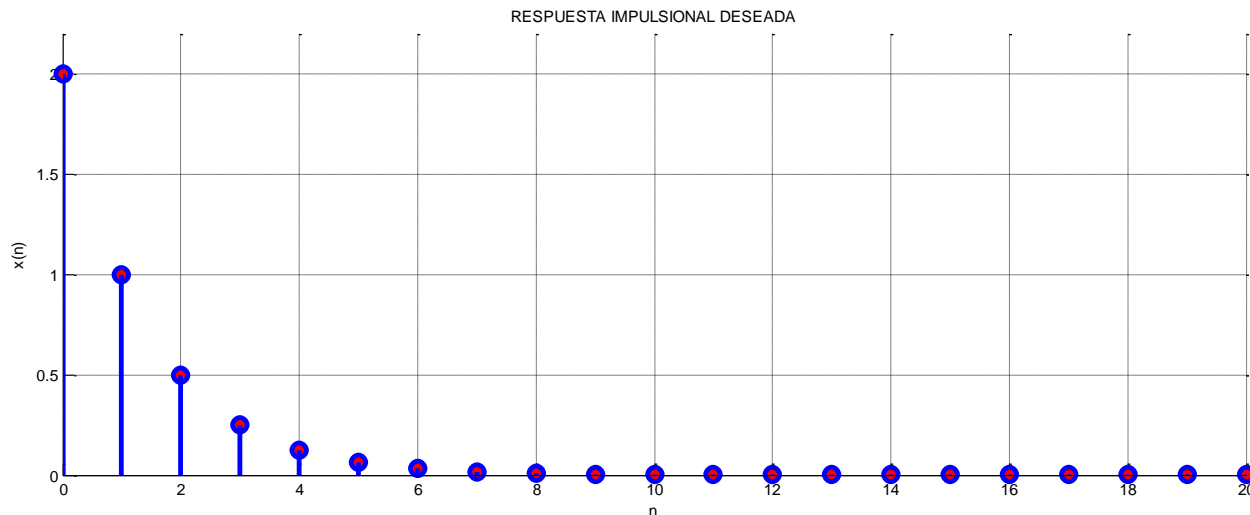
El grado con que la técnica de Padé produce filtros aceptables depende del número de coeficientes del filtro seleccionado.

- $h_d(n)$ sólo se ajusta hasta el número de parámetros del filtro.
- Cuanto más complejo el filtro, mejor será la aproximación.
- Para mejorar la aproximación, el filtro debe poseer un gran número de polos y ceros.
- La técnica requiere ensayar varios valores de M y N para obtener un filtro que converja a la respuesta deseada.

■ Ejemplo

- Use el método de aproximación de Padé para diseñar un filtro si se sabe que la respuesta impulsional deseada es:

$$h_d(n) = \{ \underline{2}, 1, 1/2, 1/4, 1/8, 1/16, 1/32, 1/64, 1/128, \dots \}$$



■ Solución

- Suponiendo $N = 1$ y $M = 1$, la función de Transferencia es:

$$H(z) = \frac{b_0 + b_1 z^{-1}}{1 + a_1 z^{-1}}$$

- Con $\delta(n)$ como entrada a $H(z)$, se obtiene la salida $y(n) = h(n)$

$$h(n) = -a_1 h(n-1) + b_0 \delta(n) + b_1 \delta(n-1)$$

■ Solución...

■ Paso 1: Para $n > M$,

$$n = 2 \Rightarrow h(2) = -a_1 h(1)$$

$$\text{con } h_d(2) = 1/2, \quad h_d(1) = 1 \Rightarrow a_1 = -1/2$$

■ Paso 2: Para $0 \leq n \leq M$

$$n = 0 \Rightarrow h(0) = (1/2)h(-1) + b_0$$

$$\text{con } h_d(0) = 2, \quad h_d(-1) = 0 \Rightarrow b_0 = 2$$

$$n = 1 \Rightarrow h(1) = (1/2)h(0) + b_1$$

$$\text{con } h_d(0) = 2, \quad h_d(1) = 1 \Rightarrow b_1 = 0$$

■ Solución...

■ El filtro resultante es:

$$H(z) = \frac{2}{1 - \frac{1}{2}z^{-1}}$$

■ Su respuesta impulsional es:

$$h(n) = 2\left(\frac{1}{2}\right)^n u(n) \qquad h(n) = \frac{1}{2}h(n-1) + 2\delta(n)$$

■ **Observación:** La secuencia deseada

$$h_d(n) = \{2, 1, 1/2, 1/4, 1/8, 1/16, 1/32, 1/64, 1/128, \dots\}$$

coincide exactamente con: $h_d(n) = 2(1/2)^n u(n),$

■ Observación

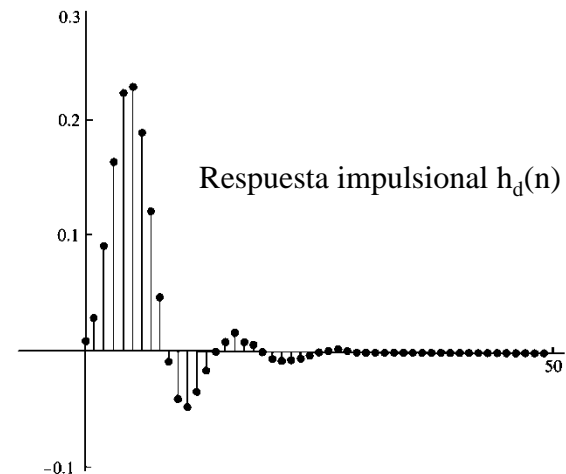
- La aproximación de Padé resulta en un **ajuste perfecto** a $H_d(z)$ cuando la función de transferencia deseada es *racional* y se **conocen *a priori*** el número de polos y ceros del sistema.
- Generalmente lo anterior no es el caso, ya que $h_d(n)$ se determina a partir de algunas especificaciones de $H_d(w)$.
 - En estos casos, la aproximación de Padé puede **NO** resultar en un buen diseño del filtro.

■ Efecto de la selección de los valores de M y N

- Considerar el filtro Butterworth de cuarto orden dado por,

$$H_d(z) = \frac{4.8334 \times 10^{-3} (z + 1)^4}{(z^2 - 1.3205z + 0.6326)(z^2 - 1.0482z + 0.2959)}$$

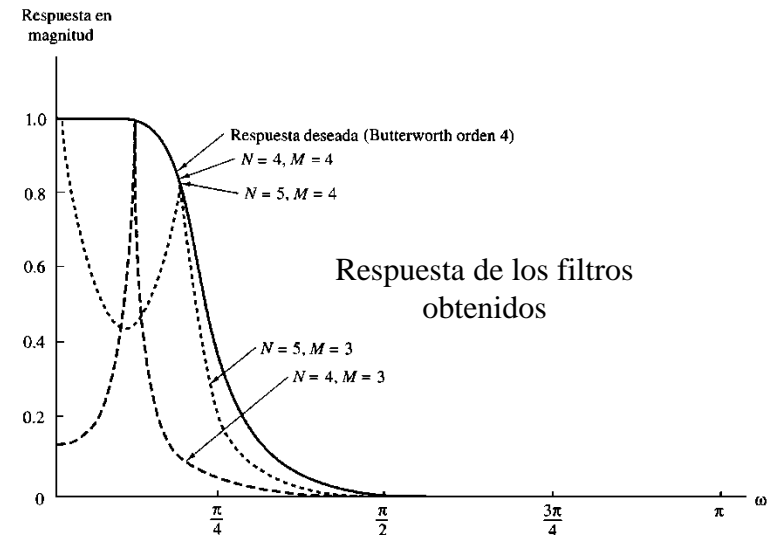
- Con respuesta impulsional:



Diseño de filtros IIR: Métodos de Mínimos Cuadrados

■ Efecto de la selección de los valores de M y N ...

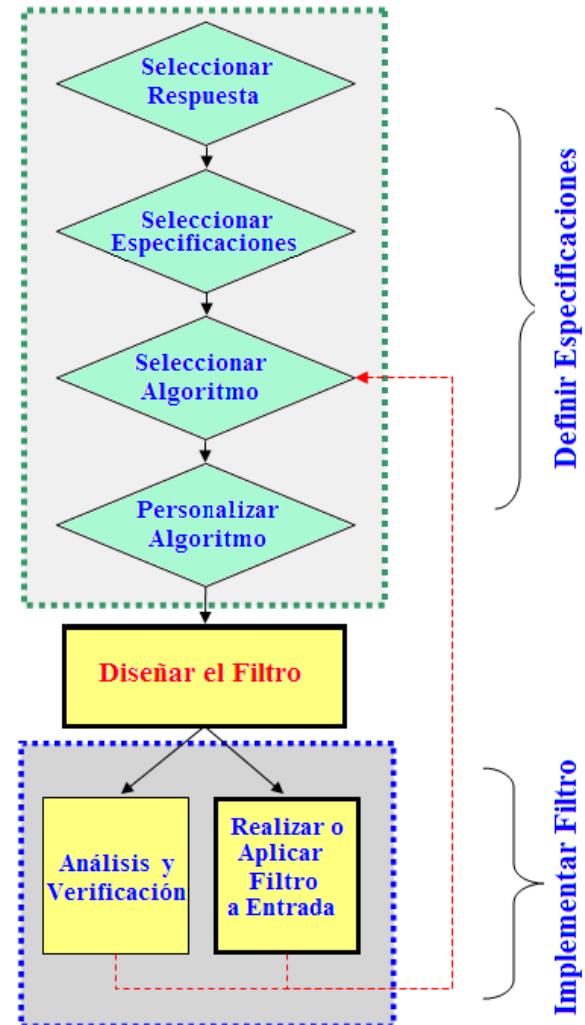
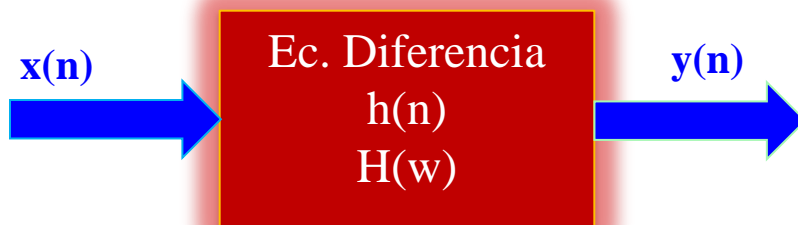
- Determinar la aproximación de Padé para diferentes valores de polos (N) y ceros (M).



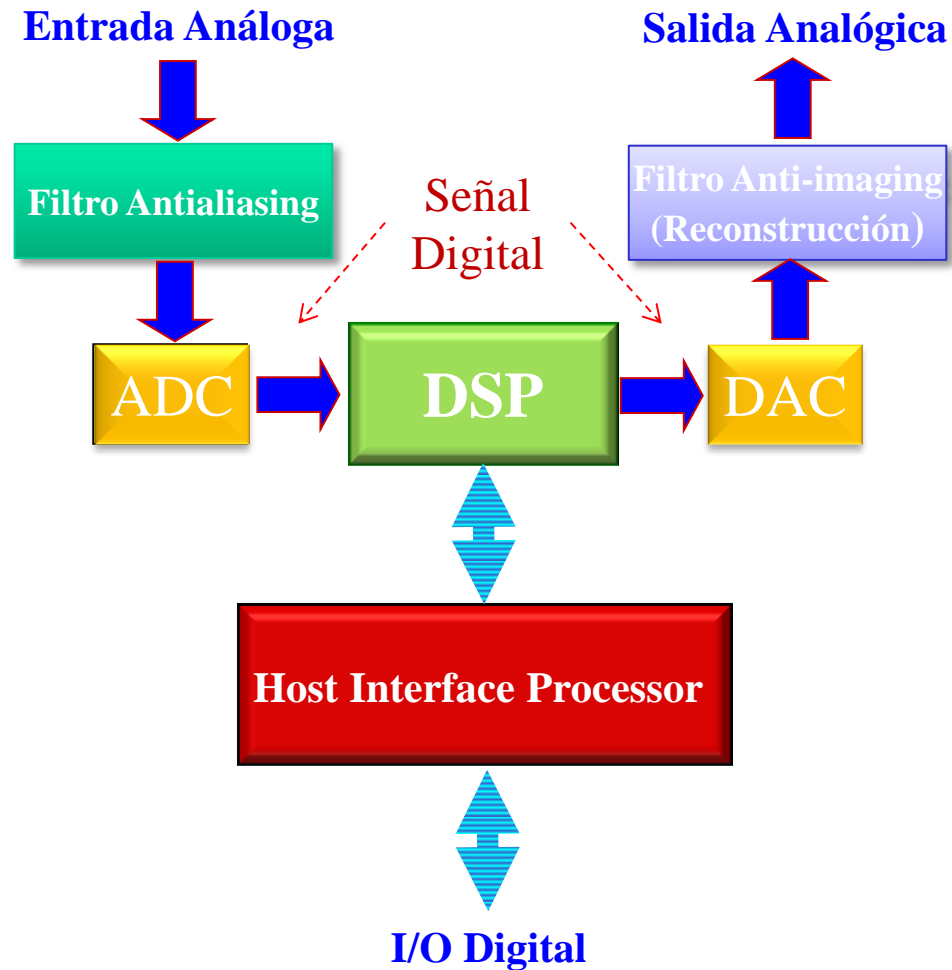
- Para valores de M y N menores que 4, la aproximación es pobre.
- Para valores de $M \geq 4$ se obtiene una muy buena aproximación.
- Para valores de $M > 4$ se puede obtener un buen resultado incluso para $N < 4$.

■ Introducción

- ▶ La **realización** de filtros corresponde al **cálculo de la salida** del filtro en **respuesta a cualquier entrada**.



■ Introducción...



■ Introducción...

- En el **Dominio Temporal** la **relación entrada-salida** está dada por la convolución,

$$y(n) = h(n) * x(n) = \sum_{k=N_1}^{N_2} h(k)x(n-k) \quad [ec.1]$$

donde N_1 y N_2 son los índices de la primera y última muestras diferentes de cero de $h(n)$.

■ Introducción...

- ▶ En el **Dominio Frecuencial** la convolución corresponde al producto de las transformadas,

$$Y(w) = H(w) X(w) \quad [ec.2]$$

- ▶ Puesto que la **T.F es continua** en w , se recurre a la **transformada discreta de Fourier DFT**,

$$Y(w_k) = H(w_k) X(w_k) \quad [ec.3]$$

$$\text{Donde: } w_k = (2\pi k / N_{DFT}), \quad k = 0, 1, \dots, N_{DFT}$$

■ Introducción...

► Observaciones:

- N_{DFT} es el tamaño de la DFT y corresponde al número de muestras en el periodo 2π .
- $N_{\text{DFT}} \geq \text{máx}\{\text{longitud de } x(n) + \text{longitud de } h(n) - 1\}$ para realizar la multiplicación punto a punto.
- La DFT puede calcularse muy eficientemente usando el algoritmo FFT.

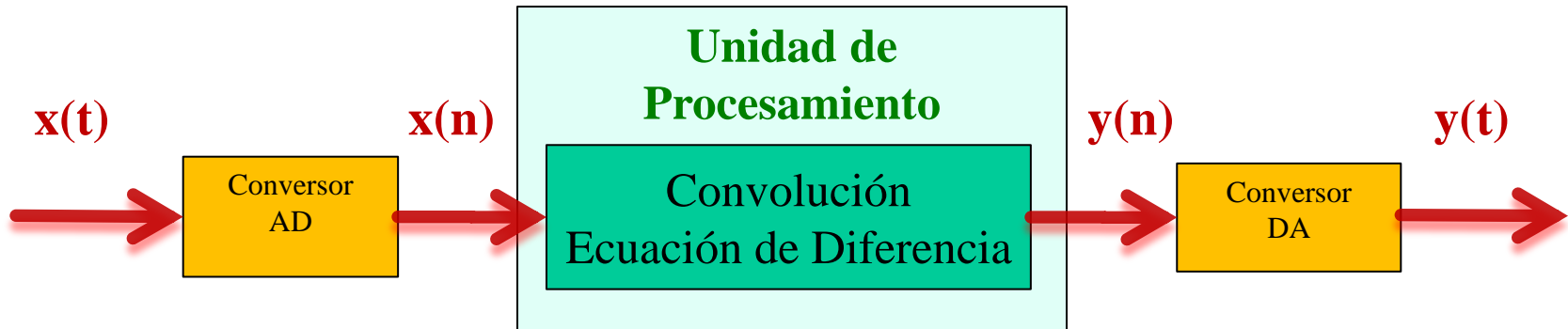
■ Realización de Filtros FIR

► Introducción

- **Dominio Temporal:** el requerimiento de almacenamiento depende sólo de la longitud de $h(n)$.
- **Dominio frecuencial:** la capacidad de almacenamiento varía con el tamaño de la señal de entrada.

■ Realización de Filtros FIR

► Dominio Temporal:



► Convolución:

$$y(n) = h(n) * x(n) = \sum_{k=N_1}^{N_2} h(k) x(n-k)$$

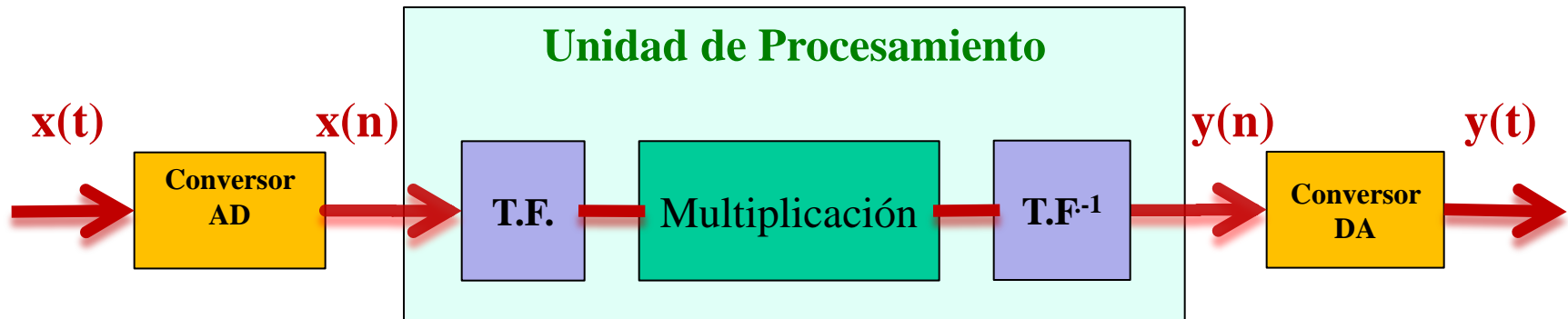
► Ecuaciones de Diferencia:

$$y(n) = \sum_{k=0}^M b_k x(n-k)$$

Realización de Filtros FIR

■ Realización de Filtros FIR ..

► Dominio frecuencial



► Multiplicación:

$$Y(w) = H(w) X(w)$$

$$Y(w) = e^{-jwN_0} \frac{\sum_{k=0}^M b_k e^{-jwk}}{\sum_{k=0}^N a_k e^{-jwk}} X(w)$$

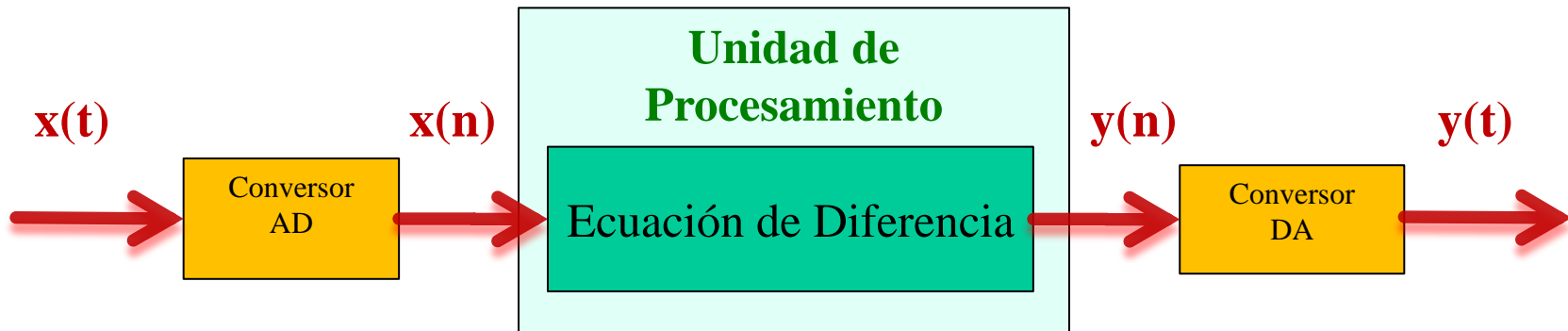
■ Realización de Filtros IIR

► Introducción

- La **convolución** **no** puede utilizarse por la longitud de $h(n)$
- Se recurre a la **Transformada de Fourier** o a las **ecuaciones de diferencia**.

■ Realización de Filtros IIR ..

► Dominio Temporal:



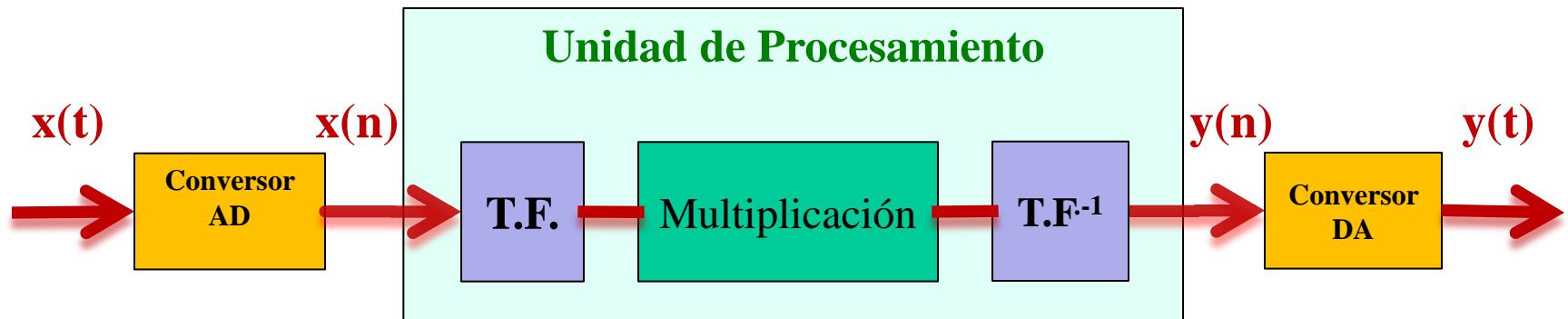
► Ecuaciones de Diferencia:

$$y(n) = \sum_{k=0}^M \frac{b_k}{a_0} x(n-k) - \sum_{k=1}^N \frac{a_k}{a_0} y(n-k) \quad \text{para } n \geq n_0$$

Requiere N condiciones *iniciales*: $y(n_0 - 1), \dots, y(n_0 - N)$.

■ Realización de Filtros IIR ..

► Dominio frecuencial:



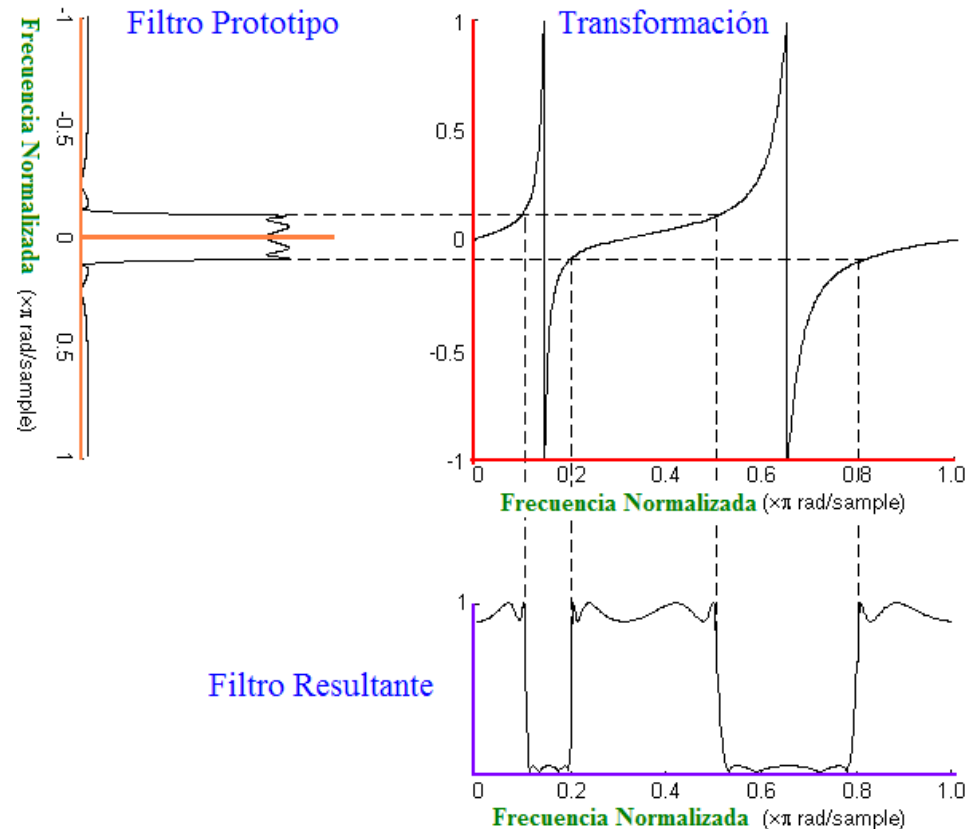
► Multiplicación:

$$Y(w) = H(w) X(w)$$

$$Y(w) = e^{-jwN_0} \frac{\sum_{k=0}^M b_k e^{-jwk}}{\sum_{k=0}^N a_k e^{-jwk}} X(w)$$

■ Introducción

- El estudio de filtros IIR se centra en el diseño de filtros paso-bajo.
- La obtención de un filtro PA, PB, BR se realiza fácilmente aplicando una **transformación de frecuencia** a un **prototipo PB**.



■ Transformaciones de Frecuencia en el Dominio Analógico

Tipo de transformación	Transformación	Frecuencias de corte del nuevo filtro
<u>Paso bajo</u>	$s \longrightarrow \frac{\Omega_p}{\Omega'_p} s$	Ω'_p
<u>Paso alto</u>	$s \longrightarrow \frac{\Omega_p \Omega'_p}{s}$	Ω'_p
<u>Paso banda</u>	$s \longrightarrow \Omega_p \frac{s^2 + \Omega_l \Omega_u}{s(\Omega_u - \Omega_l)}$	Ω_l, Ω_u
<u>Banda eliminada</u>	$s \longrightarrow \Omega_p \frac{s(\Omega_u - \Omega_c)}{s^2 + \Omega_u \Omega_l}$	Ω_l, Ω_u

Transformaciones de Frecuencia en el dominio Digital

Tipo de transformación	Transformación	Parámetros
<u>Paso bajo</u>	$z^{-1} \longrightarrow \frac{z^{-1} - a}{1 - az^{-1}}$	$\omega'_p = \text{frecuencia de corte del nuevo filtro}$ $a = \frac{\text{sen}[(\omega_p - \omega'_p)/2]}{\text{sen}[(\omega_p + \omega'_p)/2]}$
<u>Paso alto</u>	$z^{-1} \longrightarrow -\frac{z^{-1} + a}{1 + az^{-1}}$	$\omega'_p = \text{frecuencia de corte del nuevo filtro}$ $a = -\frac{\cos[(\omega_p + \omega'_p)/2]}{\cos[(\omega_p - \omega'_p)/2]}$

Transformaciones de Frecuencia en el dominio Digital

Tipo de transformación	Transformación	Parámetros
<u>Paso banda</u>	$z^{-1} \longrightarrow -\frac{z^{-2} - a_1 z^{-1} + a_2}{a_2 z^{-2} - a_1 z^{-1} + 1}$	ω_l = frecuencia de corte inferior ω_u = frecuencia de corte superior $a_1 = -2\alpha K / (K + 1)$ $a_2 = (K - 1) / (K + 1)$ $\alpha = \frac{\cos[(\omega_u + \omega_l)/2]}{\cos[(\omega_u - \omega_l)/2]}$ $K = \cot \frac{\omega_u - \omega_l}{2} \tan \frac{\omega_p}{2}$
<u>Banda eliminada</u>	$z^{-1} \longrightarrow \frac{z^{-2} - a_1 z^{-1} + a_2}{a_2 z^{-1} - a_1 z^{-1} + 1}$	ω_l = frecuencia de corte inferior ω_u = frecuencia de corte superior $a_1 = -2\alpha / (K + 1)$ $a_2 = (1 - K) / (1 + K)$ $\alpha = \frac{\cos[(\omega_u + \omega_l)/2]}{\cos[(\omega_u - \omega_l)/2]}$ $K = \tan \frac{\omega_u - \omega_l}{2} \tan \frac{\omega_p}{2}$

■ Observaciones

- El diseñador puede *elegir* transformaciones en frecuencia en el dominio analógico o digital.
- Las *transformaciones* en el dominio *digital* son apropiadas para filtros IIR, pues si se aplican a filtros FIR se obtendrá un filtro IIR.
 - *Método Invarianza al Impulso y Aproximación de Derivadas*
 - Hacer la transformación *final* en el dominio digital para evitar el problema de aliasing en filtros paso alto y filtros paso banda.
 - *Método de Transformación Bilineal*
 - No presenta inconveniente el orden de aplicación.

■ Ejemplo

- Diseñar mediante la T. Bilineal un filtro paso-banda digital a partir de un filtro prototipo paso-bajo Butterworth analógico de orden dos y punto de potencia mitad en $\Omega_p = 1$, definido como:

$$H(s) = \frac{1}{s^2 + \sqrt{2}s + 1}$$

```
% Función de Transferencia del Filtro H(s)
```

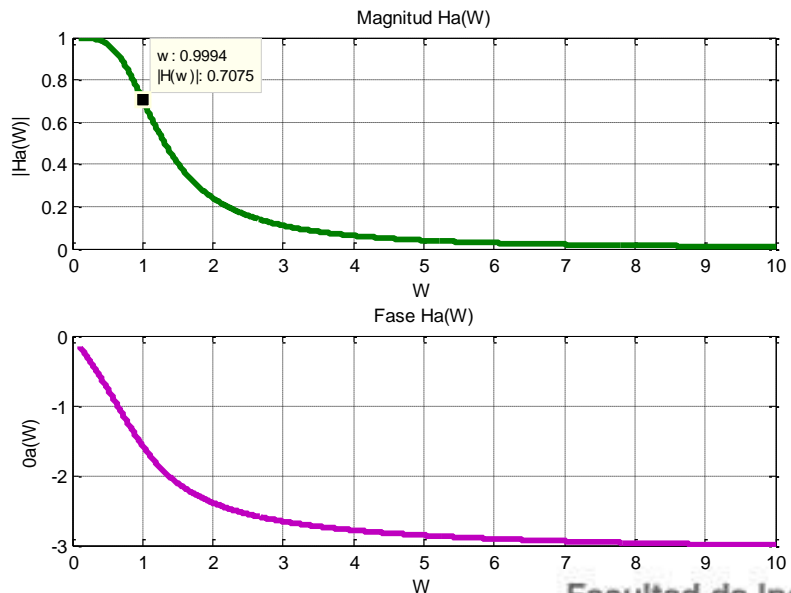
```
K_a=1;  
num_a=K_a*[0 0 1];  
den_a=[1 sqrt(2) 1];
```

```
% Respuesta en Frecuencia H(W)
```

```
[Ha,W]=freqs(num_a,den_a, 4*1024);  
Hmaga=abs(Ha);  
Hanga=angle(Ha);
```

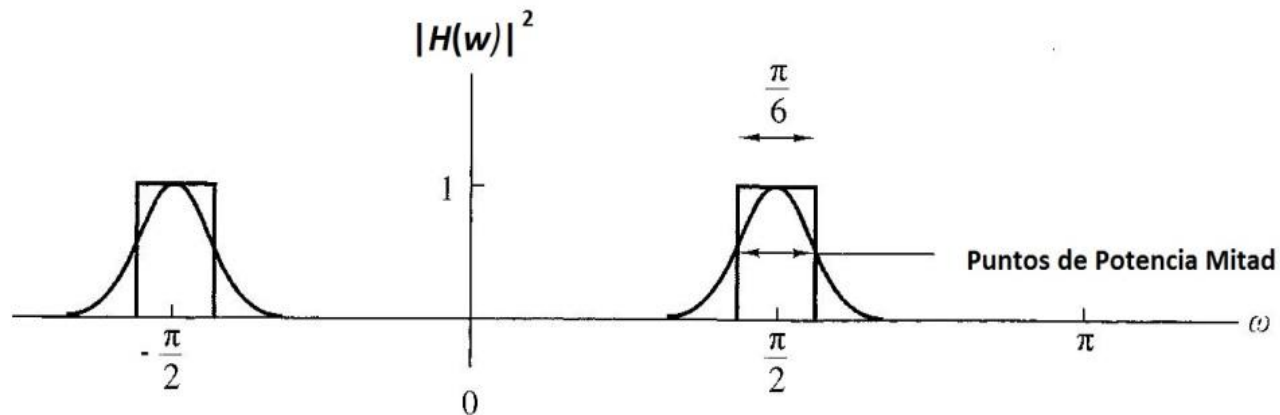
```
% Graficación
```

```
subplot(2,1,1);  
plot(W,Hmaga);  
grid on; xlabel('W'); ylabel('|Ha(W)|');  
title('Magnitud Ha(W)')  
subplot(2,1,2);  
plot(W,Hanga); grid on; xlabel('W');  
ylabel('Oa(W)'); title('Fase Ha(W)')
```



■ Ejemplo ...

- Las frecuencias de corte (medidas en los puntos de potencia mitad) para el filtro digital deben estar en $\omega = \frac{5\pi}{12}$ y $\omega = \frac{7\pi}{12}$.
- El sistema digital tiene una frecuencia de muestreo $f_s = 0,5$ y las especificaciones del filtro digital se ilustran en la siguiente figura.



■ Solución

- Mediante la ecuación de frecuencias de la T. Bilineal se obtiene las especificaciones frecuenciales del filtro analógico paso-banda:

$$\Omega = \frac{2}{T} \tan\left(\frac{\omega}{2}\right)$$

$$\Omega_L = \frac{2}{2} \tan\left(\frac{5\pi/12}{2}\right) = 0.7673 \quad y \quad \Omega_U = \frac{2}{2} \tan\left(\frac{7\pi/12}{2}\right) = 1.3032$$

- La conversión de un filtro paso-bajo a un paso-banda está dado por:

$$s = \Omega_p \frac{s^2 + \Omega_L \Omega_U}{s(\Omega_U - \Omega_L)} = \frac{s^2 + 1}{0.5359 s}$$

■ Solución ...

- Reemplazando la T. Bilineal $s = \frac{2}{T} \frac{1-z^{-1}}{1+z^{-1}}$ en la ecuación de conversión analógica, con $T = 2$, se obtiene:

$$s = \frac{(1 - z^{-1})^2 + \Omega_u \Omega_L (1 + z^{-1})^2}{(1 - z^{-2})(\Omega_u - \Omega_L)} = 3.7321 \frac{(1 + z^{-2})}{(1 - z^{-2})}$$

- El filtro digital se obtiene reemplazando la ecuación anterior en el filtro prototipo paso-bajo analógico:

$$H(z) = H(s) \Big|_{s=3.7321 \frac{(1+z^{-2})}{(1-z^{-2})}}$$

■ Solución ...

■ De donde,

$$H(z) = \frac{1}{20,2065} \frac{(1 - z^{-2})^2}{1 + 1,2796 z^{-2} + 0,4776 z^{-4}}$$

■ Filtro de cuarto orden estable y con polos en:

- $z_1 = -0.1601 + 0.8157j$
- $z_2 = -0.1601 - 0.8157j$
- $z_3 = 0.1601 + 0.8157j$
- $z_4 = 0.1601 - 0.8157j$

■ Solución ...

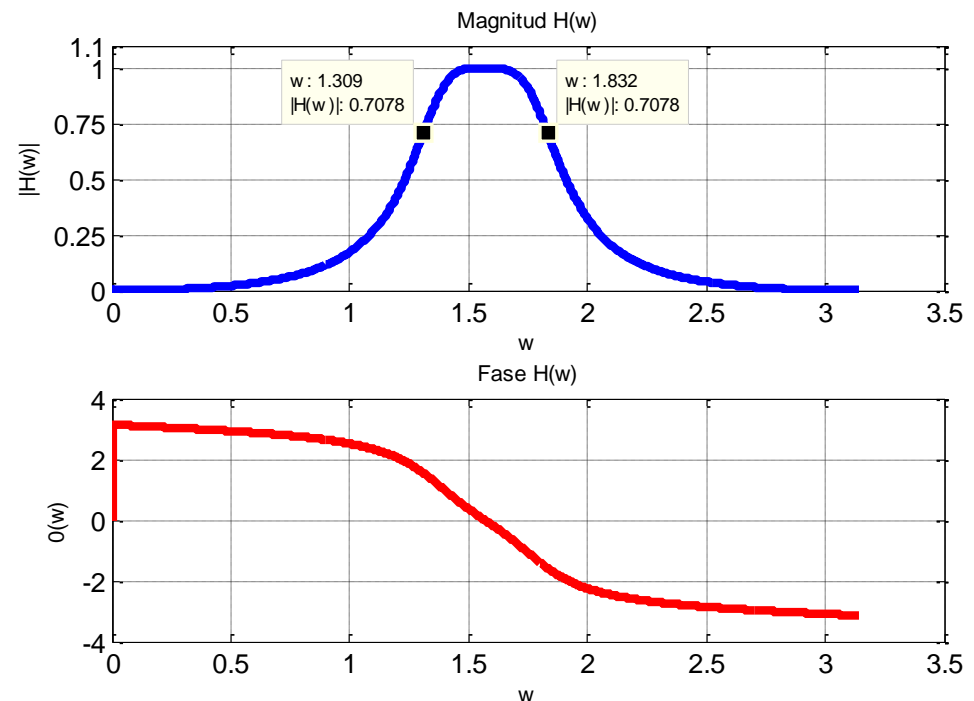
- La respuesta en Frecuencia se obtiene como:

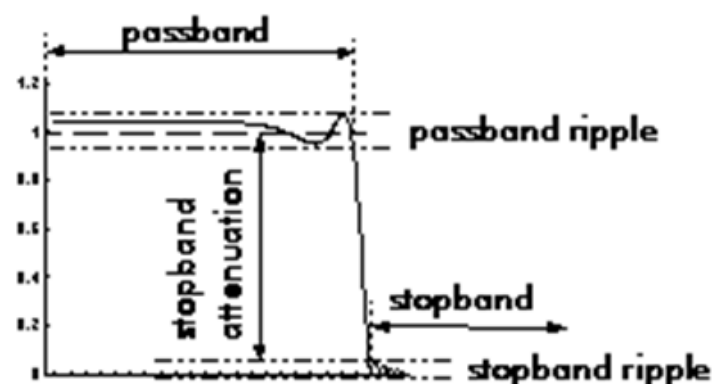
$$H(w) = H(z)|_{z=e^{jw}}$$

```
% Función de Transferencia del Filtro
H(z)
K=1/20.2065;
num= K* [1 0 -2 0 1];
den=[1 0 1.2796 0 0.4776];

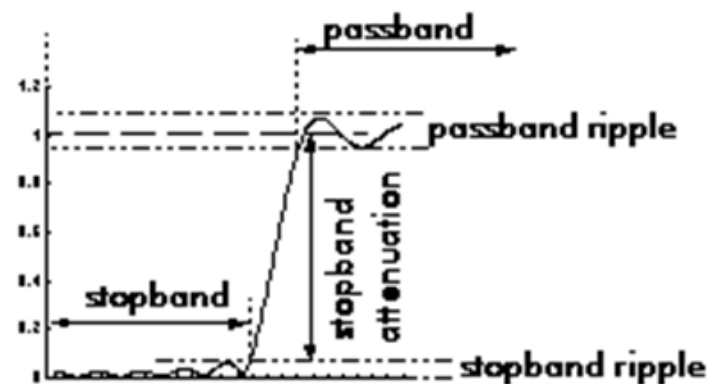
% Respuesta en Frecuencia H(w)
[H,w]=freqz(num,den, 4*1024);
Hmag=abs(H);
Hang=angle(H);

% Graficación
subplot(2,1,1);
plot(w,Hmag); grid on; xlabel('w');
ylabel('|H(w)|'); title('Magnitud H(w)');
subplot(2,1,2);
plot(w,Hang); grid on; xlabel('w');
ylabel('O(w)'); title('Fase H(w)');
```

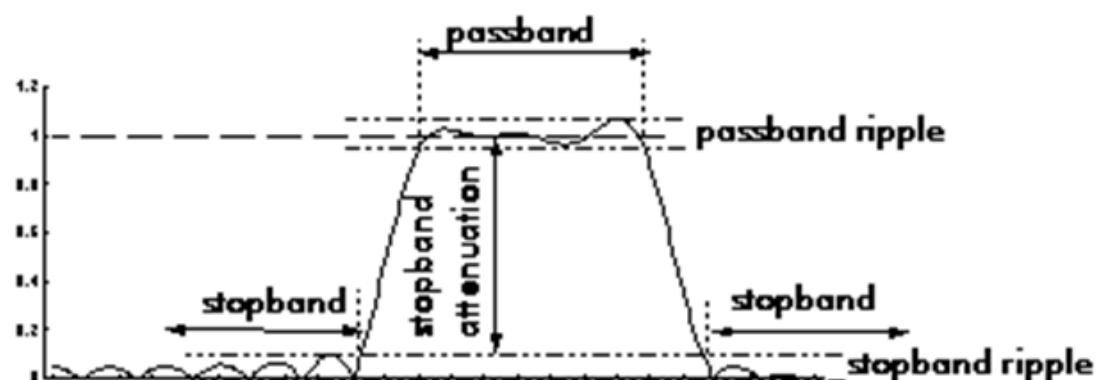




low pass filter



high pass filter



band pass filter

Fin Asignatura

